

中性子星と超流動

-軌道とスピンの協奏による核子超流動の多様性-

安井繁宏

(慶應義塾大学)

共同研究者：新田宗土 (慶應), 猪谷太輔 (慶應→理研), 水島健 (阪大),
Chandrasekhar Chatterjee (慶應→private company)

内容

1. はじめに：中性子星とは？超流動とは？
2. 中性子 3P_2 超流動の相図：核物理の観点から
3. 中性子星における中性子 3P_2 超流動
4. まとめと今後の課題

みなさんに伝えたいこと

核物理と物性物理は繋がっている

その舞台のひとつが中性子星の 3P_2 超流動であり、
スピンと軌道角運動量が重要な役割を果たしている

内容

1. はじめに：中性子星とは？超流動とは？
2. 中性子 3P_2 超流動の相図：核物理の観点から
3. 中性子星における中性子 3P_2 超流動
4. まとめと今後の課題

1. はじめに：中性子星とは？超流動とは？

中性子星とは

- 半径 10km程度
- 質量 $1.4-2 \times (\text{太陽質量})$
- 密度 10^{12} kg/cm^3
- 表面重力 地表の 10^{11} 倍
- 回転周期 30秒-1/100秒
- 磁場 $10^{13}-10^{15} \text{ G}$ (地上0.5G)
- 中性子星連星系からの重力波

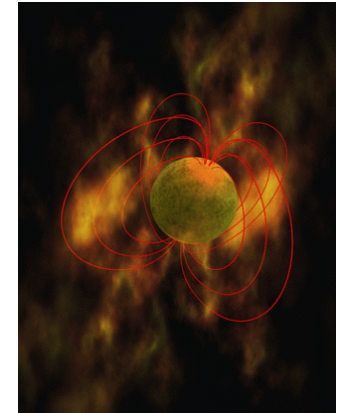


from iTHEMS, RIKEN

1. はじめに：中性子星とは？超流動とは？

マグネター (Magnetar)

強い磁場をもつ中性子星？



B = 10¹⁵ G

Name ^b	<i>P</i> (s)	<i>B</i> ^c (10 ¹⁴ G)	Age ^d (kyr)	\dot{E} ^e 10 ³³ erg s ⁻¹	<i>D</i> ^f (kpc)	<i>L</i> _X ^g 10 ³³ erg s ⁻¹	Band ^h
CXOU J010043.1-721134	8.02	3.9	6.8	1.4	62.4	65	–
4U 0142+61	8.69	1.3	68	0.12	3.6	105	OIR/H
SGR 0418+5729	9.08	0.06	36,000	0.00021	~2	0.00096	–
SGR 0501+4516	5.76	1.9	15	1.2	–	–	OIR/H
SGR 0526-66	–	5.6	–	2.9	1.6	18	–
1E 1048.1-5937	–	3.9	–	3	1.0	–	OIR
(PSR J1119-6127)	0	4.1	1.6	–	1.4	–	R/H
–	2	3.2	0.69	–	1.5	1.3	O?/R/H
PSR J1622-4950	4	2.7	4.0	–	–	–	R
SGR 1627-41	2	2.2	2.2	–	–	–	–
–455216	10	<0.66	420	13	3.9	0.45	–
1RXS J170849.0-400910	11	4.7	9.0	8	3.8	42	O?/H
CXOU J171405.7-381031	3	5.0	0.95	–	~13	56	–
SGR J1745-2900	3	2.3	–	1.0	8.3	<0.11	R/H
SGR 1806-20	7.55	20	0.2	45	8.7	163	OIR/H
XTE J1810-197	5.54	2.1	11	1.8	3.5	0.043	OIR/R
Swift J1822.3-1606	8.44	0.14	6,300	0.0014	1.6	>0.0004	–
SGR 1822-0832	7.56	1.6	34	0.2	–	–	–
Swift J1829-084	1.48	1	–	–	4.2	0.0084	–
1E 1831-08	11.79	7.0	4.6	0.09	8.5	184	–
(SGR J1836-258)	0.32	0.4	0.5	8100	6.0	19	–
AX J1845.0-0258	21.56	<0.41	>1,300	<0.001	~7	<0.006	–
J185246.6+003317	–	–	–	–	–	–	–
SGR 1900+14	5.20	7.0	0.9	26	12.5	90	H
SGR 1935+2154	3.4	2.2	16	17	–	–	–
1E 2259+586	6.38	0.59	20	0.056	3.2	17	OIR/H
SGR 0755-2933	–	–	–	–	–	–	–
SGR 1801-23	–	–	–	–	–	–	–
SGR 1808-20	–	–	–	–	–	–	–
AX J1818.8-1559	–	–	–	–	–	–	–
AX J1845.0-0258	6.97	–	–	–	–	2.9	–
SGR 2013+34	–	–	–	–	–	–	–

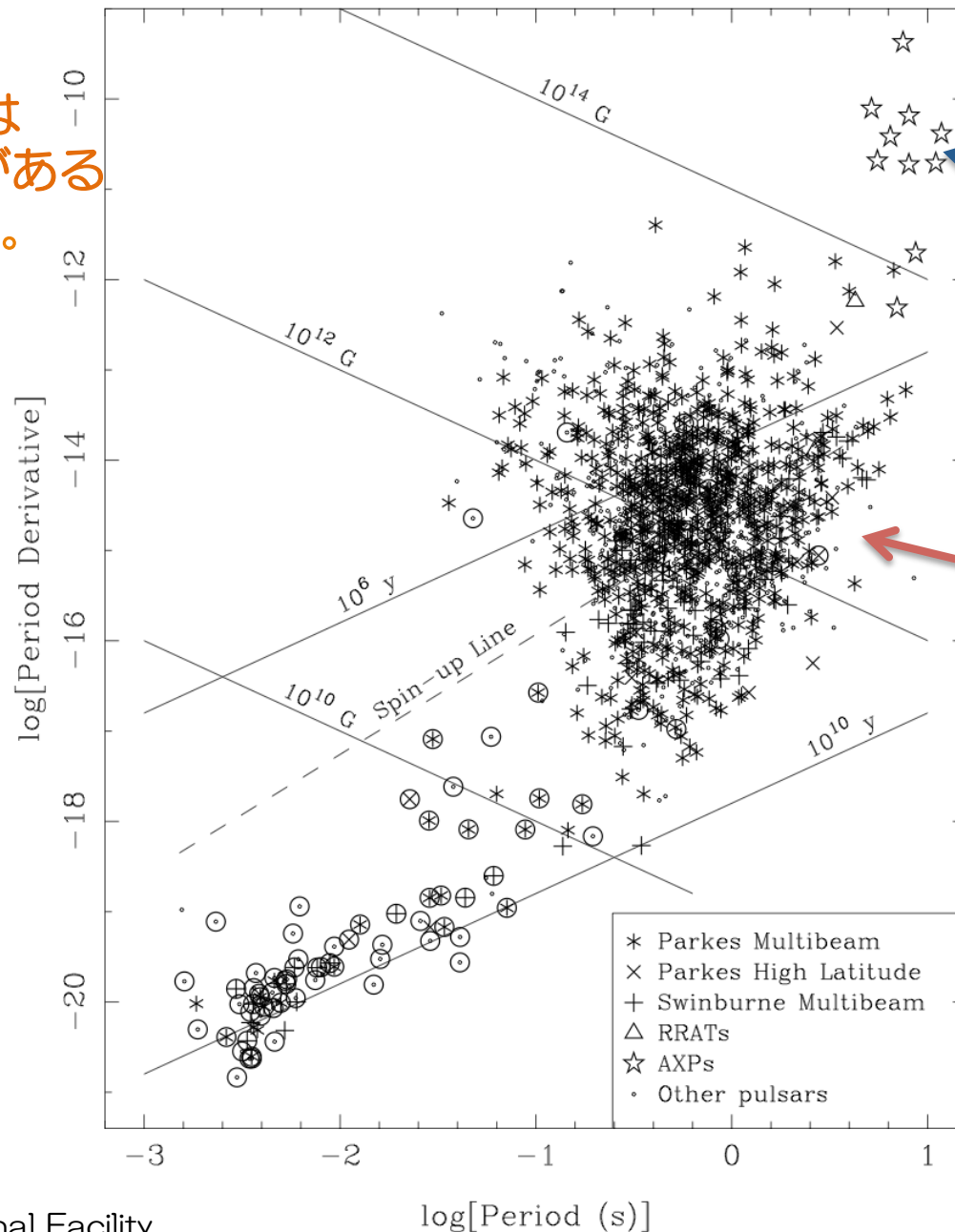
通常の中性子星:

B = 10¹³ G

V. M. Kaspi and A. M. Beloborodov, Annual Review of Astronomy and Astrophysics 55, 261 (2017).

1. はじめに：中性子星とは？超流動とは？

我々の銀河系には
10億個の中性子星がある
と考えられている。



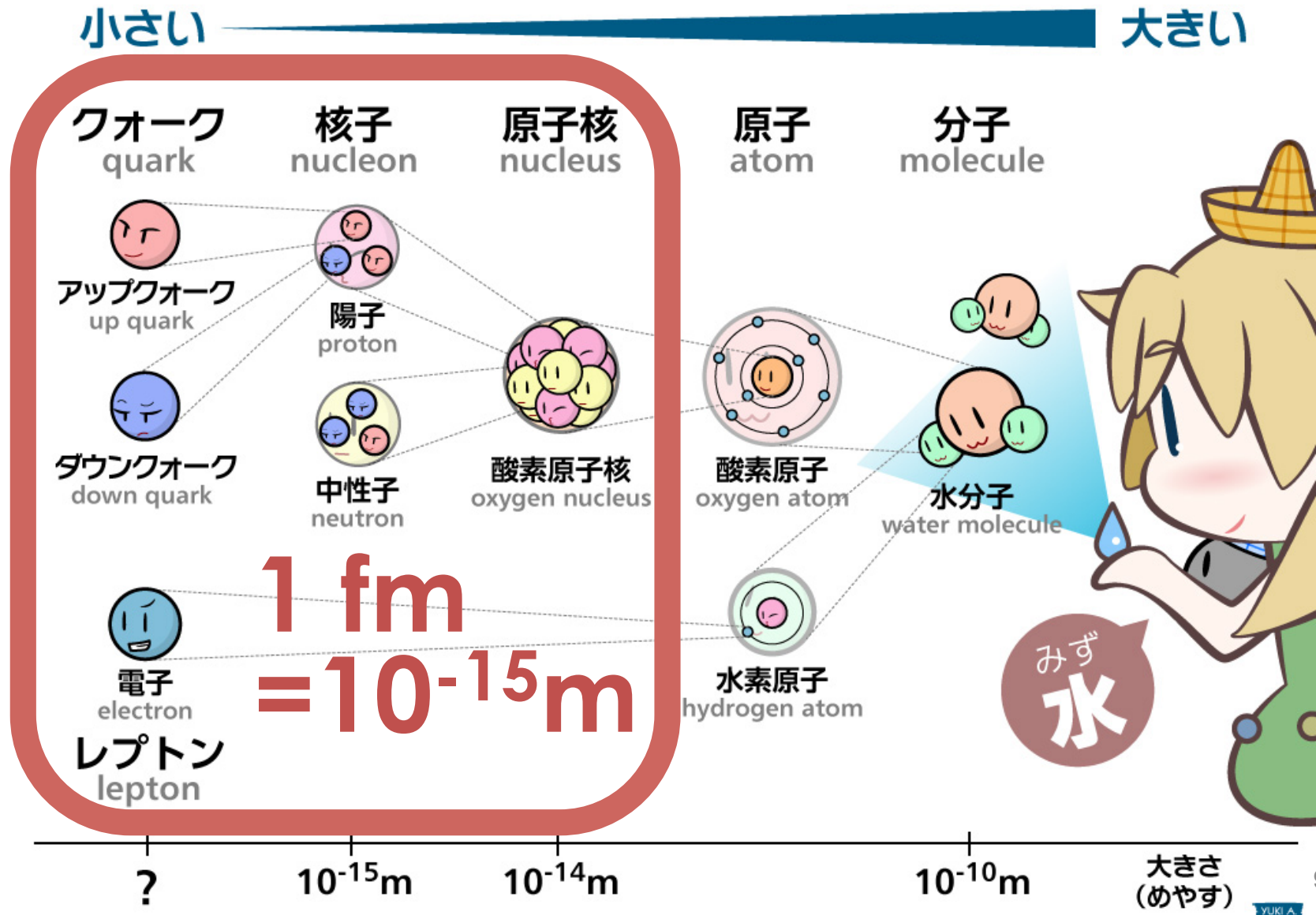
マグネター

通常の中性子星

1. はじめに：中性子星とは？超流動とは？

中性子星の内部？

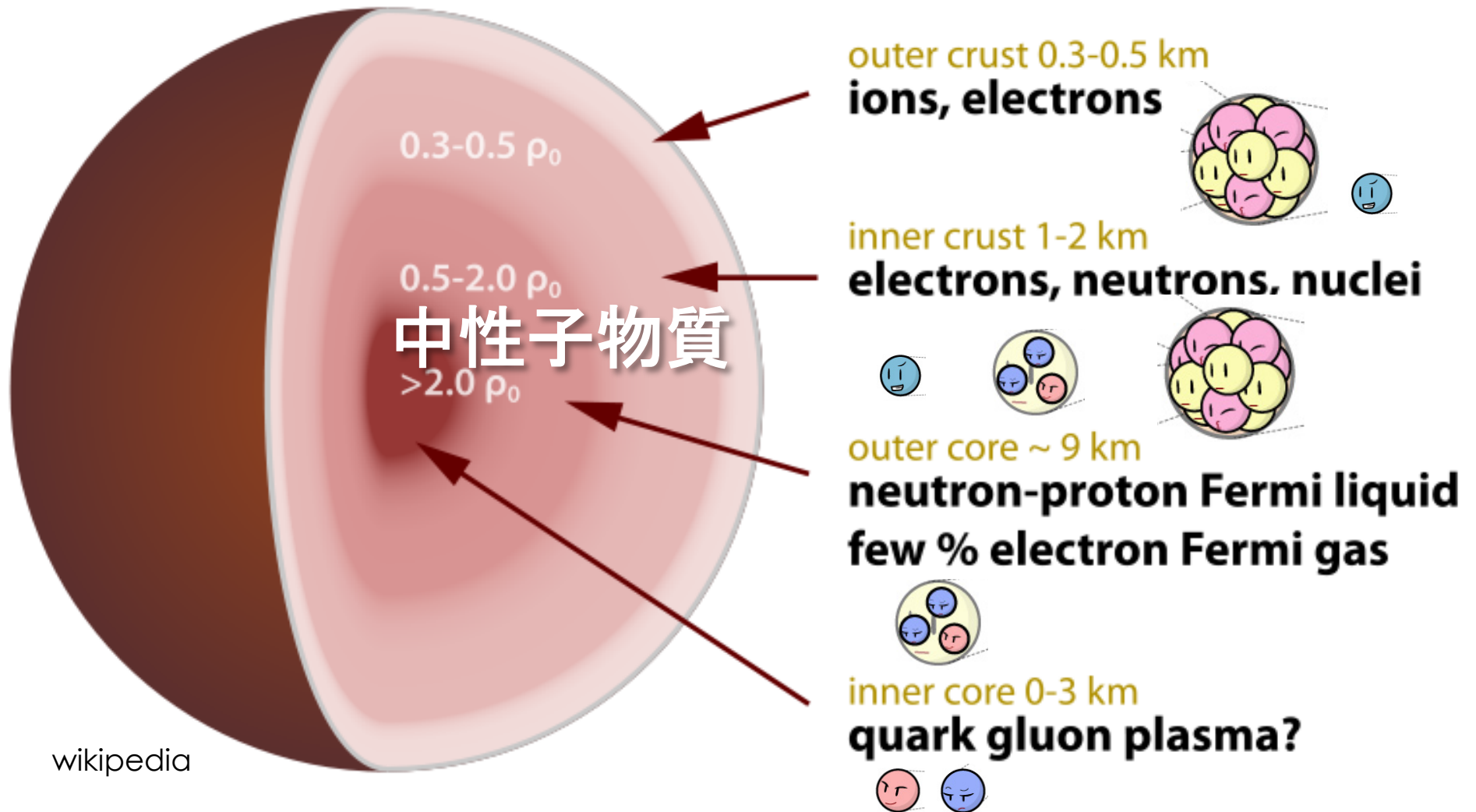
HiggsTan.com



1. はじめに：中性子星とは？超流動とは？

中性子星の内部？

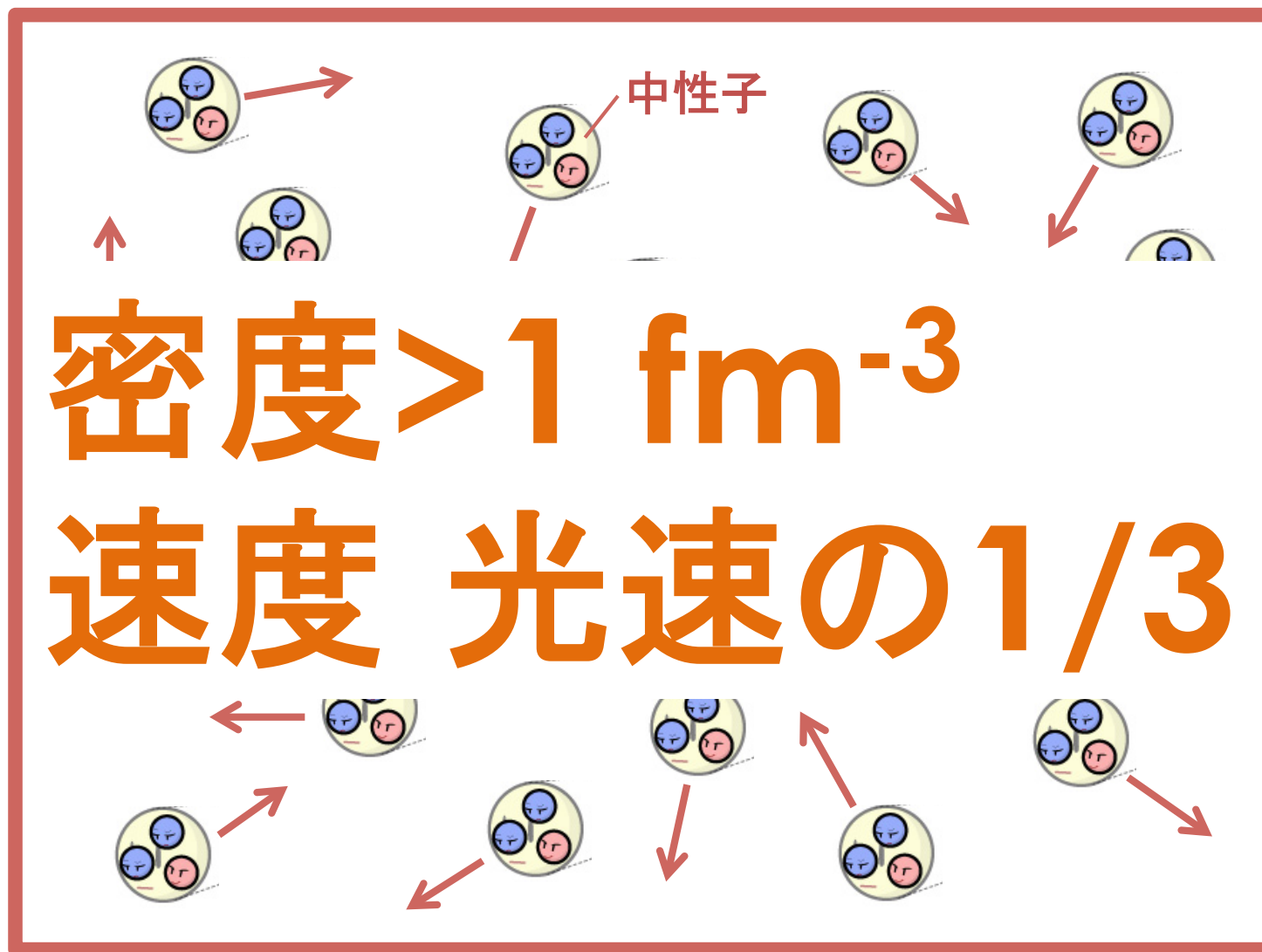
HiggsTan.com



1. はじめに：中性子星とは？超流動とは？

中性子物質(イメージ図)

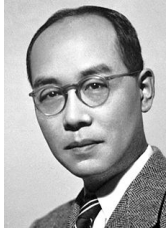
HiggsTan.com



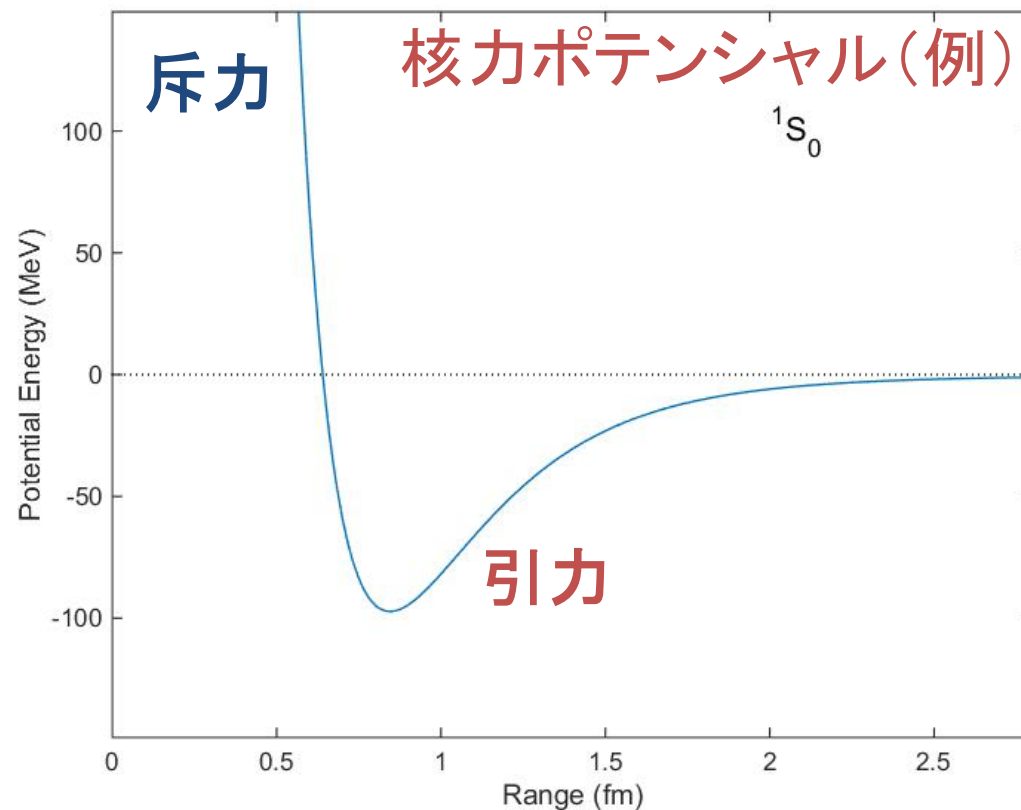
1. はじめに：中性子星とは？超流動とは？

中性子同士の相互作用 (核力)

HiggsTan.com

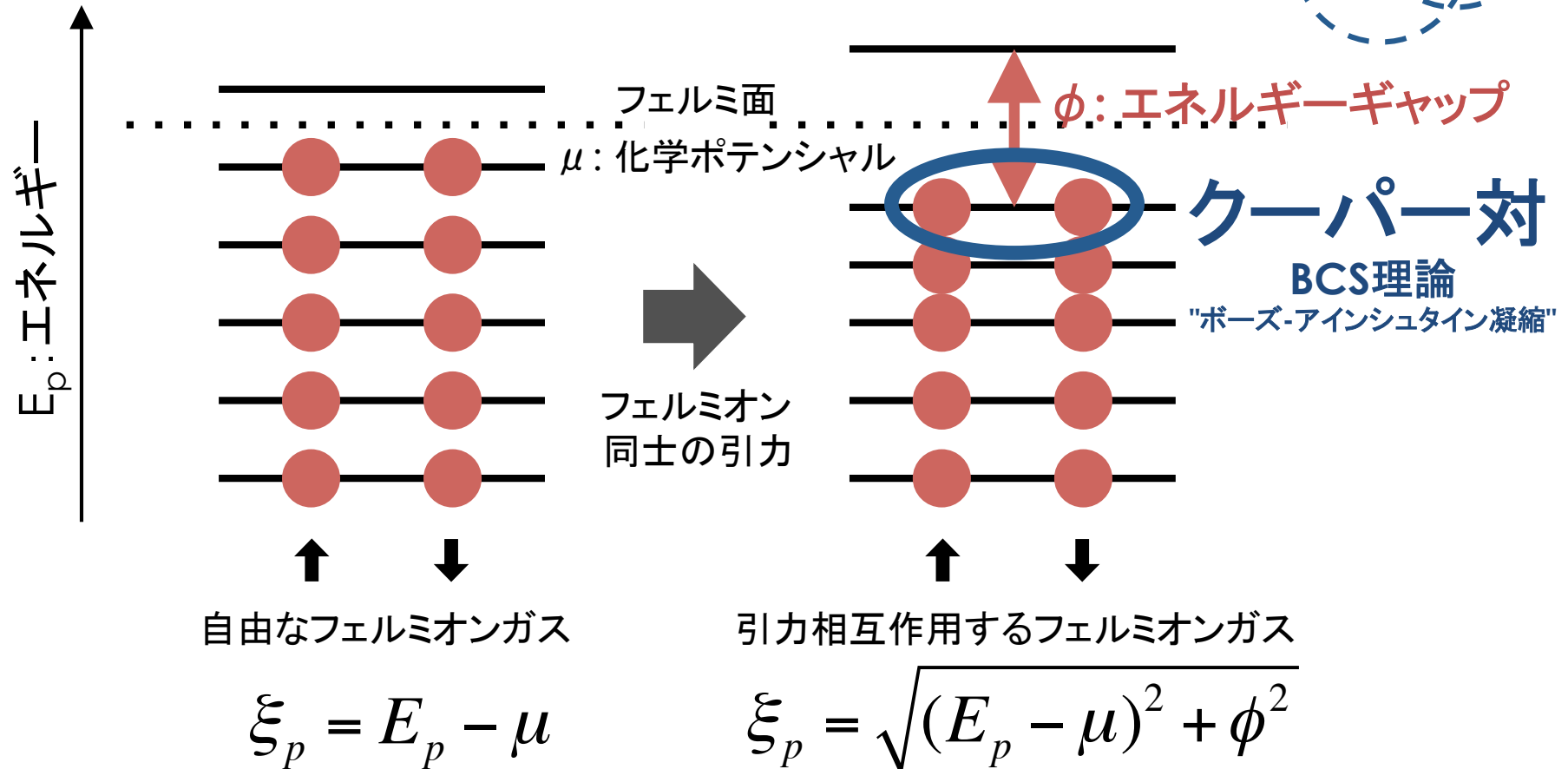
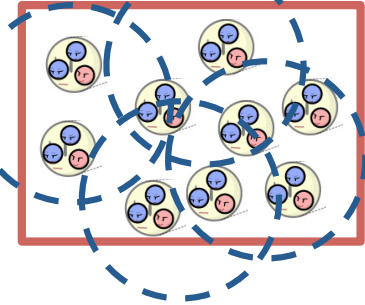


H. Yukawa
(1907-1981)



1. はじめに：中性子星とは？超流動とは？

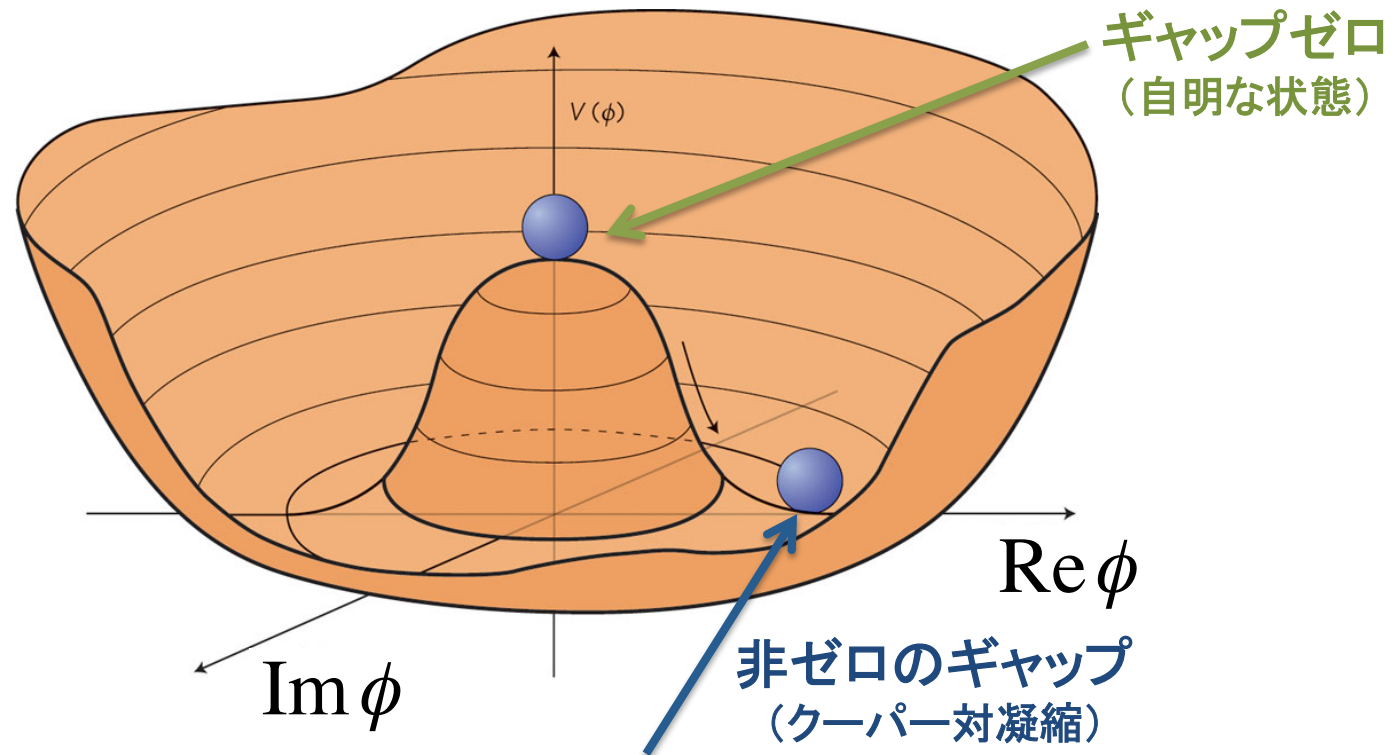
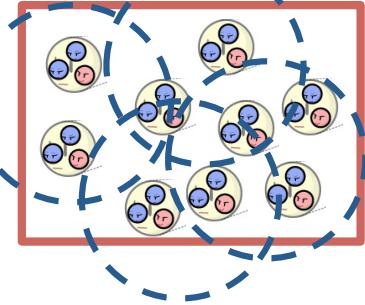
クーパー対と超流動



1. はじめに：中性子星とは？超流動とは？

クーパー対と超流動

エネルギーギャップ：秩序変数 $\phi \propto \langle \psi_{\uparrow} \psi_{\downarrow} \rangle$
(複素スカラー)



U(1)対称性の破れ (自発的な対称性の破れ): $U(1) \rightarrow \{e\}$

$$\psi_{\uparrow}, \psi_{\downarrow} : e^{i\vartheta} \mapsto 1$$

1. はじめに：中性子星とは？超流動とは？

中性フェルミオン→超流動

注：荷電フェルミオン→超伝導 (電荷カレント)

1937年： ^4He 原子 (ボソン) の超流動性の実験

1957年：Bardeen-Cooper-Schrieffer (BCS) 理論

1972年： ^3He 原子 (フェルミオン) の超流動性の実験

スピン3重項-P波のクーパー対 (スピン揺らぎによる相互作用？)

1995年：Ru原子 (ボソン) の超流動性の実験

2003年： ^{40}K 原子によるボーズ-アインシュタイン凝縮の実験

...

1. はじめに：中性子星とは？超流動とは？

中性フェルミオン→超流動

注：荷電フェルミオン→超伝導 (電荷カレント)

1937年： ^4He 原子 (ボソン) の超流動性の実験

1957年：Bardeen-Cooper-Schrieffer (BCS)

1972年： ^3He 原子 (フェルミオン) の超流動性の実験

スピン3重項-P波のクーパー対 (スピン揺らぎによる相互作用？)

1995年：Ru原子 (ボソン) の超流動性の実験

2003年： ^{40}K 原子によるボーズ-アインシュタイン凝縮の実験

...

1960年 Migdal
中性子物質の
超流動性 (1S_0)

1. はじめに：中性子星とは？超流動とは？

中性フェルミオン→超流動

注：荷電フェルミオン→超伝導 (電荷カレント)

1937年： ^4He 原子 (ボソン) の超流動性の実験

1957年：Bardeen-Cooper-Schrieffer (BCS)

1972年： ^3He 原子 (フェルミオン) の超流動性の実験

スピン3重項-P波のクーパー対 (スピン揺らぎによ

1995年： Ru 原子 (ボソン) の超流動性の実験

2003年： ^{40}K 原子によるボーズ-アインシュタイン凝縮

...

1960年 Migdal
中性子物質の
超流動性 (1S_0)

1966年 Wolf
中性子内部では
 1S_0 は斥力なので
超流動は不可能？

1. はじめに：中性子星とは？超流動とは？

中性フェルミオン→超流動

注：荷電フェルミオン→超伝導 (電荷カレント)

1937年： ^4He 原子 (ボソン) の超流動性の実験

1957年：Bardeen-Cooper-Schrieffer (BCS)

1972年： ^3He 原子 (フェルミオン) の超流動性の実験

スピン3重項-P波のクーパー対 (スピン軌道結合によ

1995年：Ru原子 (ボソン) の超流動性の実験

2003年： ^{40}K

...

1960年 Migdal
中性子物質の
超流動性 (1S_0)

1966年 Wolf
中性子内部では
 1S_0 は斥力なので
超流動は不可能？

1968年 Tabakin
LS力による中性子
物質の超流動性 (3P_2)

F. Tabakin, Phys. Rev. **174**, 1208 (1968).

M. Hoffberg, A. E. Glassgold, R. W. Richardson, M. Ruderman, Phys. Rev. Lett. **24**, 775 (1970).

R. Tamagaki, Prog. Theor. Phys. **44**, 905 (1970).

T. Takatsuka, R. Tamagaki, Prog. Theor. Phys. **46**, 114 (1971).

T. Takatsuka, Prog. Theor. Phys. **47**, 1062 (1972).

T. Fujita, T. Tsuneto, Prog. Theor. Phys. **48**, 766 (1972).

R. W. Richardson, Phys. Rev. D **5**, 1883 (1972).

...

内容

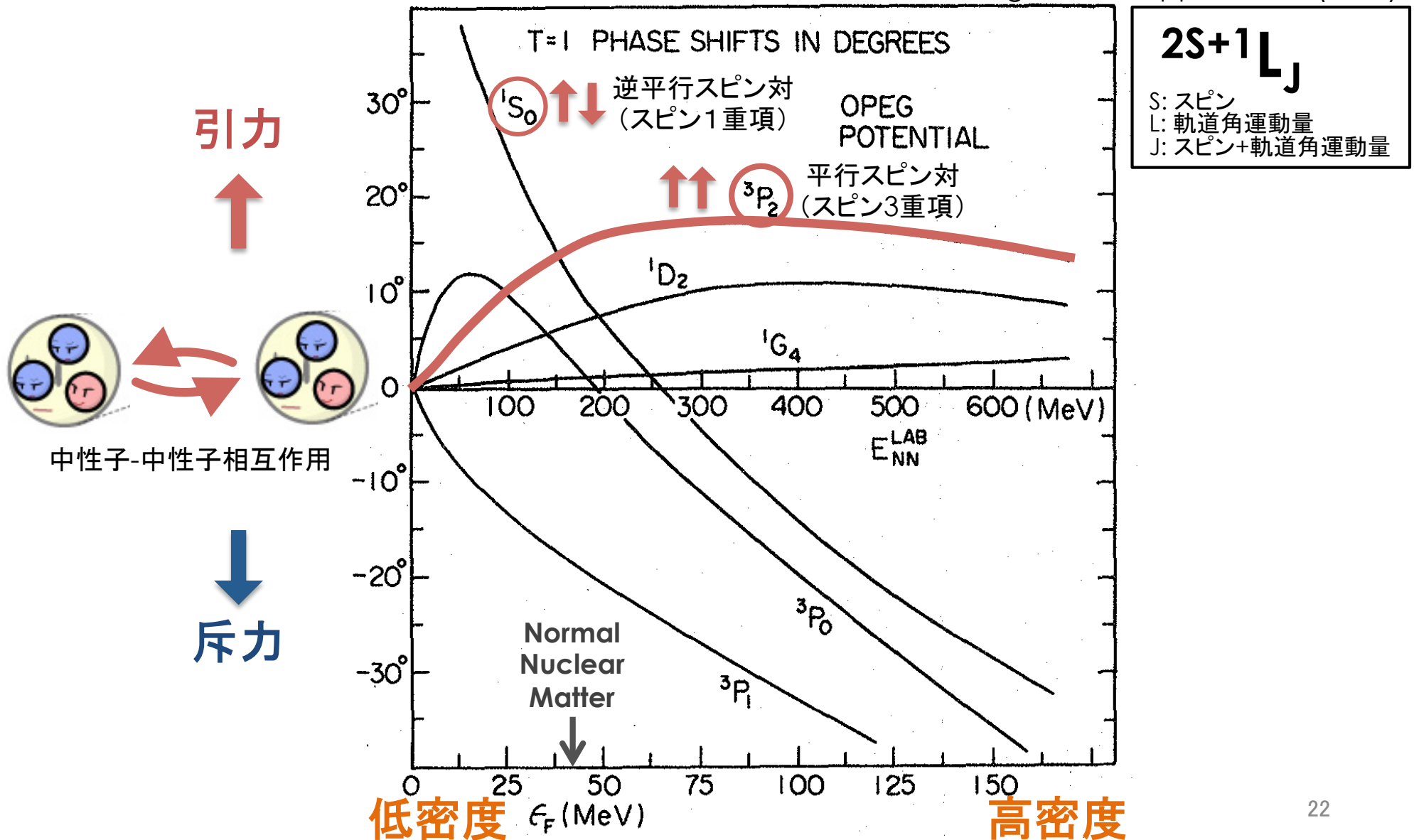
1. はじめに：中性子星とは？超流動とは？
2. 中性子 3P_2 超流動の相図：核物理の観点から
3. 中性子星における中性子 3P_2 超流動
4. まとめと今後の課題

2. 中性子 3P_2 超流動の相図

中性子-中性子相互作用

さまざまな散乱チャンネルにおける引力と斥力

Takatsuka, Tamagaki, PTP Suppl. 112, 27 (1993)

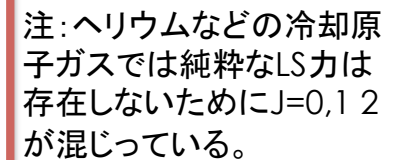


中性子-中性子相互作用

さまざまな散乱チャンネルにおける引力と斥力

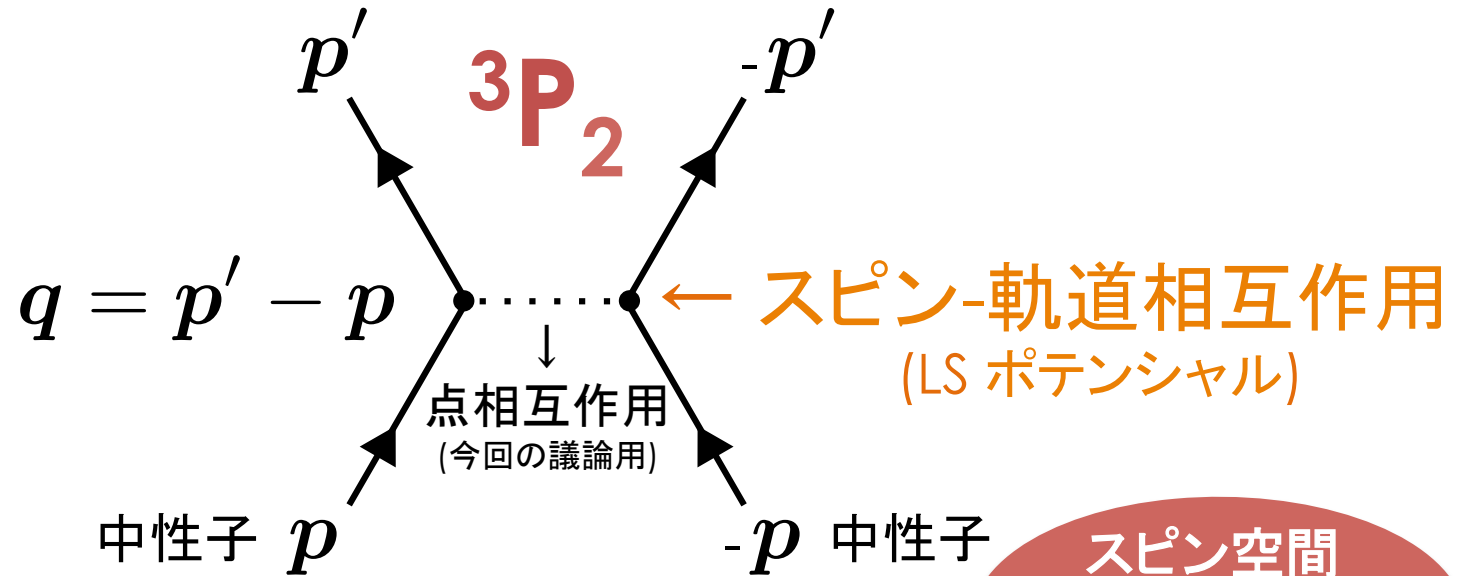
 $2S+1L_J$

S: スピン
L: 軌道角運動量
J: スピン+軌道角運動量



2. 中性子 3P_2 超流動の相図

3P_2 : 中性子同士の相互作用においてもっとも引力的なチャンネル (高密度)



**クーパー対
テンソル型凝縮**
対称・トレースレス ($J=2$)

$$\frac{1}{2} (s^a q^b + s^b q^a) - \frac{\delta^{ab}}{3} s \cdot q$$

スピン空間
運動量空間
($a, b=1, 2, 3$)

中性子 3P_2 超流動 → 速いニュートリノ冷却？
強磁場に対する耐性？
トポロジカル天体？

2. 中性子 3P_2 超流動の相図

Tabakin (1968), Hoffenberg, Glassgold, Richardson,
Ruderman (1970), Tamagaki (1970), Takatsuka, Tamagaki
(1971), Takatsuka (1972), ...

3P_2

スピン1/2
中性子

スピン-軌道

スピン1/2
中性子

P-波

クーパー対

秩序変数
(中性子-中性子凝縮)

$$A(t, \mathbf{x}) = A_0 \begin{pmatrix} s_x & s_y & s_z \\ r & 0 & 0 \\ 0 & -(1+r) & 0 \\ 0 & 0 & 1 \end{pmatrix} \begin{pmatrix} q_x \\ q_y \\ q_z \end{pmatrix}$$

対称・トレースレスなテンソル
($2J+1 \rightarrow 5$ つの自由度)

スピン (s_x, s_y, s_z)
×運動量 (q_x, q_y, q_z)

内部パラメーター: $-1 \leq r \leq -1/2$

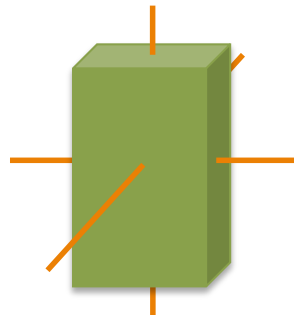
$O(2)$



UN: uniaxial nematic
($r = -1/2$)

$$\begin{pmatrix} -1/2 & 0 & 0 \\ 0 & -1/2 & 0 \\ 0 & 0 & 1 \end{pmatrix}$$

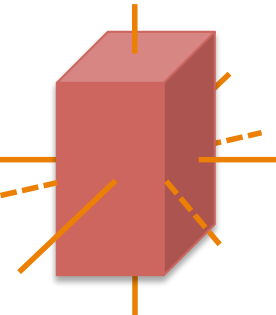
D_2



D_2 -BN: D_2 biaxial nematic
($-1 < r < -1/2$)

$$\begin{pmatrix} r & 0 & 0 \\ 0 & -1-r & 0 \\ 0 & 0 & 1 \end{pmatrix}$$

D_4



D_4 -BN: D_4 biaxial nematic
($r = -1$)

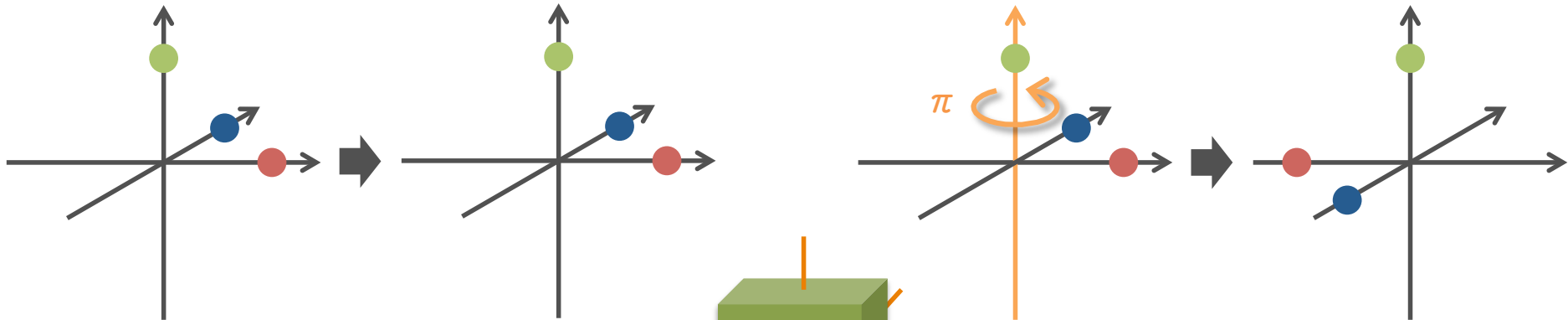
$$\begin{pmatrix} -1 & 0 & 0 \\ 0 & 0 & 0 \\ 0 & 0 & 1 \end{pmatrix}$$

D_n symmetry: invariance both (i) under n-times rotation around one rotation axis and (ii) under two-times rotation around the n axes that are perpendicular to the rotation axis in (i).

D_2 symmetry

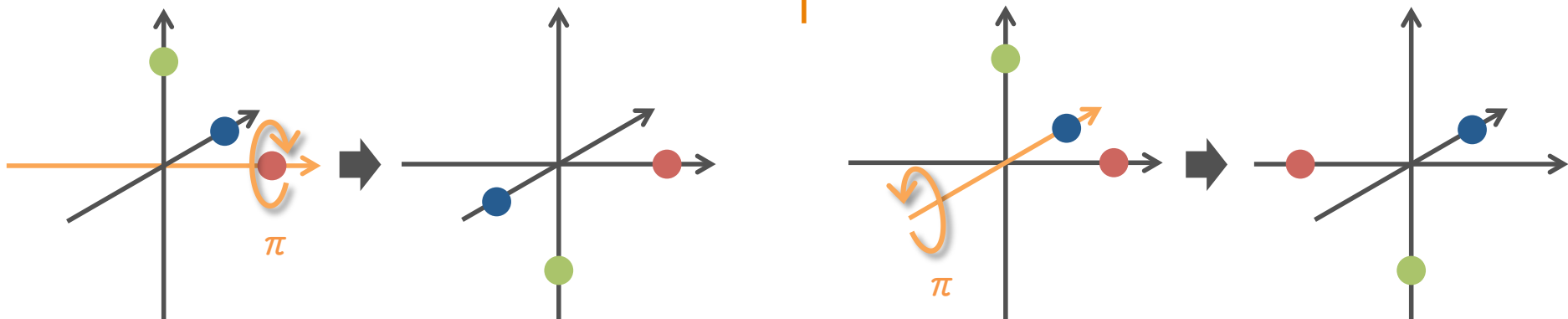
$$I_3 = \begin{pmatrix} 1 & 0 & 0 \\ 0 & 1 & 0 \\ 0 & 0 & 1 \end{pmatrix}$$

$$I_3 = \begin{pmatrix} -1 & 0 & 0 \\ 0 & -1 & 0 \\ 0 & 0 & 1 \end{pmatrix}$$



$$I_1 = \begin{pmatrix} 1 & 0 & 0 \\ 0 & -1 & 0 \\ 0 & 0 & -1 \end{pmatrix}$$

$$I_2 = \begin{pmatrix} -1 & 0 & 0 \\ 0 & 1 & 0 \\ 0 & 0 & -1 \end{pmatrix}$$

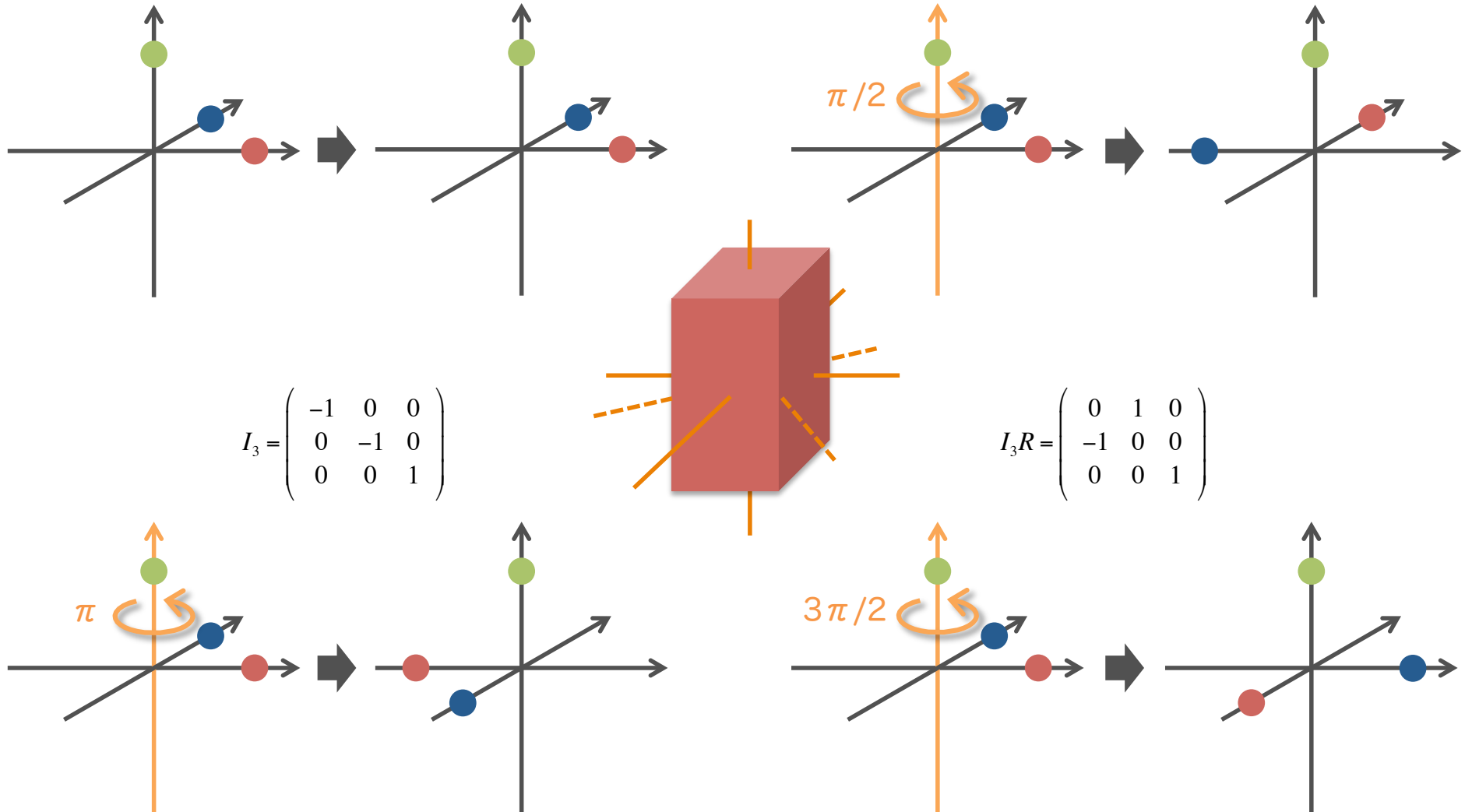


D_n symmetry: invariance both (i) under n -times rotation around one rotation axis and (ii) under two-times rotation around the n axes that are perpendicular to the rotation axis in (i).

D_4 symmetry

$$I_3 = \begin{pmatrix} 1 & 0 & 0 \\ 0 & 1 & 0 \\ 0 & 0 & 1 \end{pmatrix}$$

$$R = \begin{pmatrix} 0 & -1 & 0 \\ 1 & 0 & 0 \\ 0 & 0 & 1 \end{pmatrix}$$



$$I_3 = \begin{pmatrix} -1 & 0 & 0 \\ 0 & -1 & 0 \\ 0 & 0 & 1 \end{pmatrix}$$

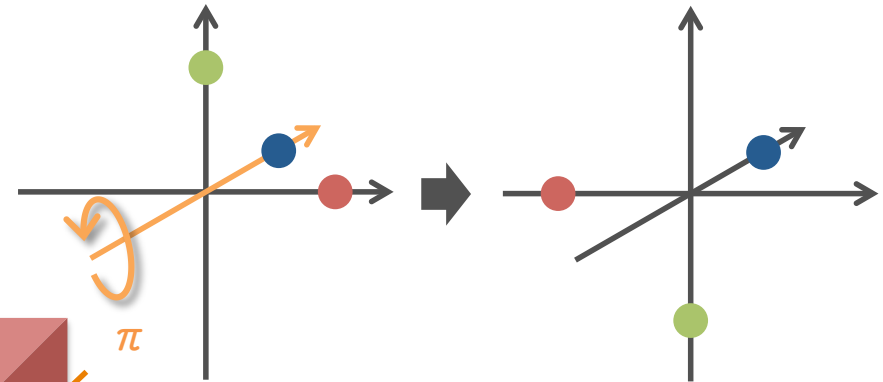
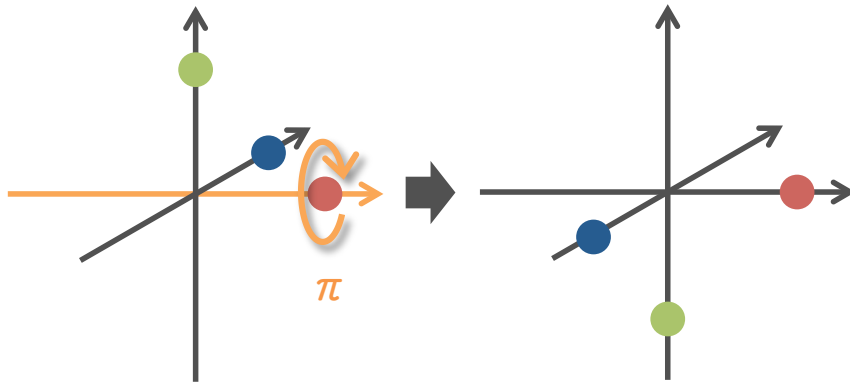
$$I_3 R = \begin{pmatrix} 0 & 1 & 0 \\ -1 & 0 & 0 \\ 0 & 0 & 1 \end{pmatrix}$$

D_n symmetry: invariance both (i) under n -times rotation around one rotation axis and (ii) under two-times rotation around the n axes that are perpendicular to the rotation axis in (i).

D_4 symmetry

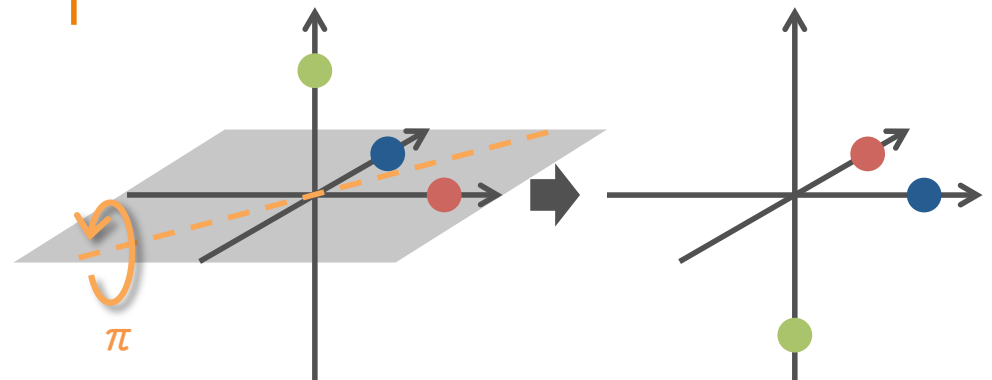
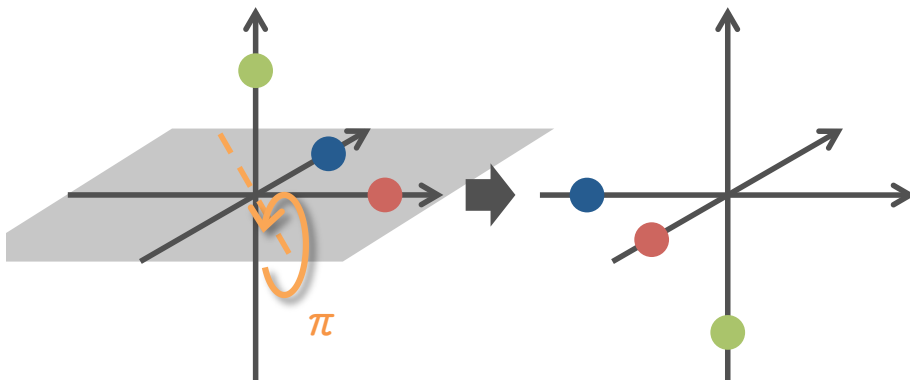
$$I_1 = \begin{pmatrix} 1 & 0 & 0 \\ 0 & -1 & 0 \\ 0 & 0 & -1 \end{pmatrix}$$

$$I_2 = \begin{pmatrix} -1 & 0 & 0 \\ 0 & 1 & 0 \\ 0 & 0 & -1 \end{pmatrix}$$



$$I_1 R = \begin{pmatrix} 0 & -1 & 0 \\ -1 & 0 & 0 \\ 0 & 0 & -1 \end{pmatrix}$$

$$I_2 R = \begin{pmatrix} 0 & 1 & 0 \\ 1 & 0 & 0 \\ 0 & 0 & -1 \end{pmatrix}$$



2. 中性子 3P_2 超流動の相図

Tabakin (1968), Hoffenberg, Glassgold, Richardson,
Ruderman (1970), Tamagaki (1970), Takatsuka, Tamagaki
(1971), Takatsuka (1972), ...

3P_2

スピン1/2
中性子

スピン-軌道

スピン1/2
中性子

P-波

クーパー対

秩序変数
(中性子-中性子凝縮)

$$A(t, \mathbf{x}) = A_0 \begin{pmatrix} s_x & s_y & s_z \\ r & 0 & 0 \\ 0 & -(1+r) & 0 \\ 0 & 0 & 1 \end{pmatrix} \begin{pmatrix} q_x \\ q_y \\ q_z \end{pmatrix}$$

対称・トレースレスなテンソル

スピン (s_x, s_y, s_z)
×運動量 (q_x, q_y, q_z)

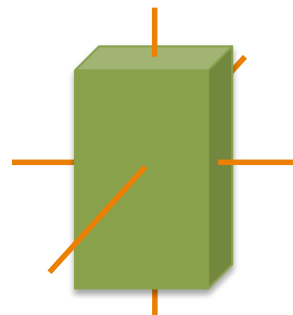
内部パラメーター: $-1 \leq r \leq -1/2$

$O(2)$



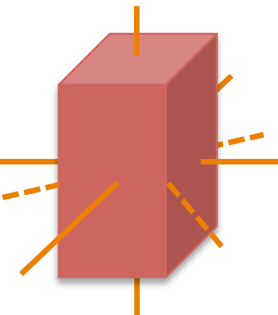
UN: uniaxial nematic
($r=-1/2$)

D_2



D_2 -BN: D_2 biaxial nematic
($-1 < r < -1/2$)

D_4



D_4 -BN: D_4 biaxial nematic
($r=-1$)

$$U(1) \times SO(3)_{L+S} \rightarrow O(2) \quad U(1) \times SO(3)_{L+S} \rightarrow D_2 \quad U(1) \times SO(3)_{L+S} \rightarrow D_4$$

全体の位相 LSポテンシャル
(LとSの同時回転)

対称性の自発的破れ

2. 中性子 3P_2 超流動の相図

Tabakin (1968), Hoffenberg, Glassgold, Richardson,
Ruderman (1970), Tamagaki (1970), Takatsuka, Tamagaki
(1971), Takatsuka (1972), ...

3P_2

スピン1/2
中性子

スピン-軌道

スピン1/2
中性子

P-波

クーパー対

秩序変数
(中性子-中性子凝縮)

$$A(t, \mathbf{x}) = A_0 \begin{pmatrix} s_x & s_y & s_z \\ r & 0 & 0 \\ 0 & -(1+r) & 0 \\ 0 & 0 & 1 \end{pmatrix} \begin{pmatrix} q_x \\ q_y \\ q_z \end{pmatrix}$$

対称・トレースレスなテンソル

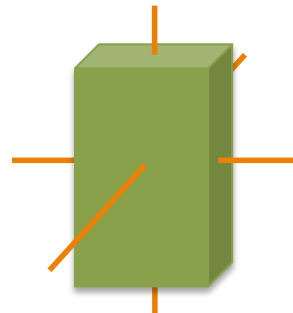
スピン (s_x, s_y, s_z)
×運動量 (q_x, q_y, q_z)

内部パラメーター: $-1 \leq r \leq -1/2$

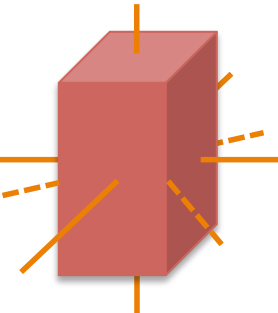
$O(2)$



D_2



D_4



UN: uniaxial nematic
($r=-1/2$)

D_2 -BN: D_2 biaxial nematic
($-1 < r < -1/2$)

D_4 -BN: D_4 biaxial nematic
($r=-1$)

Phase	H	G/H	π_0	π_1	π_2	π_3	π_4	ホモトピー群
UN	$O(2)$	$U(1) \times [SO(3)/O(2)]$	0	$\mathbb{Z} \oplus \mathbb{Z}_2$	\mathbb{Z}	\mathbb{Z}	\mathbb{Z}_2	
D_2 BN	D_2	$U(1) \times [SO(3)/D_2]$	0	$\mathbb{Z} \oplus \mathbb{Q}$	0	\mathbb{Z}	\mathbb{Z}_2	
D_4 BN	D_4	$[U(1) \times SO(3)]/D_4$	0	$\mathbb{Z} \times_h D_4^*$	0	\mathbb{Z}	\mathbb{Z}_2	

2. 中性子 3P_2 超流動の相図

Tabakin (1968), Hoffenberg, Glassgold, Richardson, Ruderman (1970), Tamagaki (1970), Takatsuka, Tamagaki (1971), Takatsuka (1972), ...

3P_2

スピン1/2
中性子

スピン-軌道

スピン1/2
中性子

P-波

クーパー対

秩序変数
(中性子-中性子凝縮)

$$A(t, \mathbf{x}) = A_0 \begin{pmatrix} s_x & s_y & s_z \\ r & 0 & 0 \\ 0 & -(1+r) & 0 \\ 0 & 0 & 1 \end{pmatrix} \begin{pmatrix} q_x \\ q_y \\ q_z \end{pmatrix}$$

対称・トレースレスなテンソル

スピン (s_x, s_y, s_z)
×運動量 (q_x, q_y, q_z)

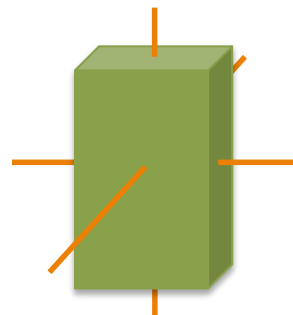
内部パラメーター: $-1 \leq r \leq -1/2$

$O(2)$



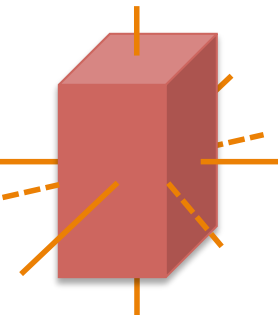
UN: uniaxial nematic
($r=-1/2$)

D_2



D_2 -BN: D_2 biaxial nematic
($-1 < r < -1/2$)

D_4



D_4 -BN: D_4 biaxial nematic
($r=-1$)

トポロジカル物質

"中性子星=トポロジカル天体"

Quantized vortex: K. Masuda M. Nitta, PRC93, 035804 (2016)

Gapless Majorana fermions: T. Mizushima, K. Masuda, M. Nitta, PRB95, 140503 (2017)

Soliton on vortex: C. Chatterjee, M. Haberichter, M. Nitta, PRC96, 055807 (2017)

Half-quantized non-Abelian vortex: K. Masuda, M. Nitta, PTEP2020, 013D01 (2020)

Y. Masaki, T. Mizushima, M. Nitta, arXiv:2107.02448 [cond-mat.supr-con]
and more ...

2. 中性子 3P_2 超流動の相図

ハミルトニアン $\mathcal{H} = \int d\mathbf{r} \psi_a^\dagger(\mathbf{r}) \xi_{ab} (-i\nabla) \psi_b(\mathbf{r})$
 フェルミオン理論

3P_2 チャンネルにおける引力 (LSポテンシャル)

$$+ \frac{1}{2} \int d\mathbf{r}_1 \int d\mathbf{r}_2 \mathcal{V}_{a,b}^{c,d}(\mathbf{r}_{12}) \psi_a^\dagger(\mathbf{r}_1) \psi_b^\dagger(\mathbf{r}_2) \psi_c(\mathbf{r}_2) \psi_d(\mathbf{r}_1)$$

$\propto \mathbf{L} \cdot \mathbf{S}$

$\xi(\mathbf{k}) = \xi_0(\mathbf{k}) - \frac{1}{2} \gamma_n \boldsymbol{\sigma} \cdot \mathbf{B}$ スピン-磁場相互作用

Bogoliubov-de Gennes (BdG) 理論

フェルミオン

F. Tabakin, Single Phys. Rev. 174, 1208 (1968)
 M. Hoffberg, A. E. Glassgold, R. W. Richardson, M. Ruderman, Phys. Rev. 177, 775 (1970)
 R. Tamagaki, Progress of Theoretical Physics 44, 905 (1970)
 T. Takatsuka, R. Tamagaki, Progress of Theoretical Physics 46, 114 (1971)
 T. Takatsuka, R. Tamagaki, Prog. Theor. Phys. Suppl. 112, 27 (1993)
 M. Baldo, J. Cugnon, A. Lejeune, U. Lombardo, Nucl. Phys. A536, 349 (1992)
 O. Elgaroy, L. Engvik, M. Hjorth-Jensen, E. Osnes, Nucl. Phys. A607, 425 (1996)
 V. A. Khodel, V. V. Khodel, J. W. Clark, Phys. Rev. Lett. 81, 3828 (1998)
 M. Baldo, O. Elgaroy, L. Engvik, M. Hjorth-Jensen, H. J. Schulze, Phys. Rev. C58, 1921 (1998)
 V. V. Khodel, V. A. Khodel, J. W. Clark, Nucl. Phys. A679, 827 (2001)
 M. V. Zverev, J. W. Clark, V. A. Khodel, Nucl. Phys. A720, 20 (2003)
 S. Maurizio, J. W. Holt, P. Finelli, Phys. Rev. C90, 044003 (2014)
 S. K. Bogner, R. J. Furnstahl, A. Schwenk, Prog. Part. Nucl. Phys. 65, 94 (2010)
 S. Srinivas and S. Ramanan, Phys. Rev. C94, 064303 (2016)
 T. Mizushima, K. Masuda, M. Nitta, Phys. Rev. C93, 035804 (2016)
 T. Mizushima, K. Masuda, M. Nitta, Phys. Rev. B95, 140503 (R) (2017)
 T. Mizushima, S. Yasui, M. Nitta, Phys. Rev. Research2, 013194 (2020)
 T. Mizushima, S. Yasui, D. Inotani, M. Nitta, Phys. Rev. C104, 045803 (2021)
 ...

Ginzburg-Landau (GL) 理論

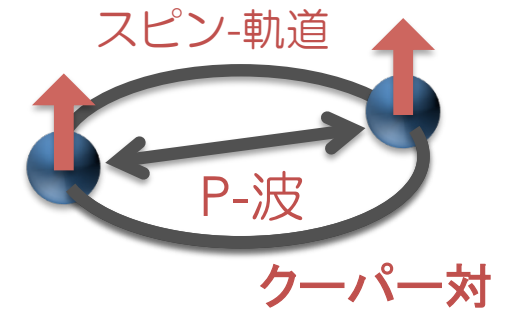
ボソン

R. W. Richardson, Phys. Rev. D5, 1883 (1972)
 J. A. Sauls and J. Serene, Phys. Rev. D17, 1524 (1978)
 P. Muzikar, J. A. Sauls, J. W. Serene, Phys. Rev. D21, 1494 (1980)
 J. A. Sauls, D. L. Stein, J. W. Serene, Phys. Rev. D25, 967 (1982)
 V. Z. Vulovic, J. A. Sauls, Phys. Rev. D29, 2705 (1984)
 K. Masuda, M. Nitta, Phys. Rev. C93, 035804 (2016)
 K. Masuda and M. Nitta, PTEP2020, 013D01 (2020)
 S. Yasui, C. Chatterjee, and M. Nitta, Phys. Rev. C101, 025204 (2020)
 S. Yasui, M. Nitta, Phys. Rev. C101, 015207 (2020)
 S. Yasui, C. Chatterjee, M. Nitta, Phys. Rev. C99, 035213 (2019)
 S. Yasui, C. Chatterjee, M. Kobayashi, M. Nitta, Phys. Rev. C100, 025204 (2019)
 T. Mizushima, S. Yasui, M. Nitta, Phys. Rev. Research2, 013194 (2020)
 S. Yasui, D. Inotani, M. Nitta, Phys. Rev. C101, 055806 (2020)
 T. Mizushima, S. Yasui, D. Inotani, M. Nitta, Phys. Rev. C104, 045803 (2021)
 ...

2. 中性子 3P_2 超流動の相図

Bogoliubov-de Gennes (BdG) 理論

$$\mathcal{H}(\mathbf{k}) = \begin{pmatrix} \varepsilon(\mathbf{k}) & i\boldsymbol{\sigma} \cdot \mathbf{d}(\mathbf{k})\sigma_2 \\ i\sigma_2\boldsymbol{\sigma} \cdot \mathbf{d}^*(-\mathbf{k}) & -\varepsilon^T(-\mathbf{k}) \end{pmatrix}$$

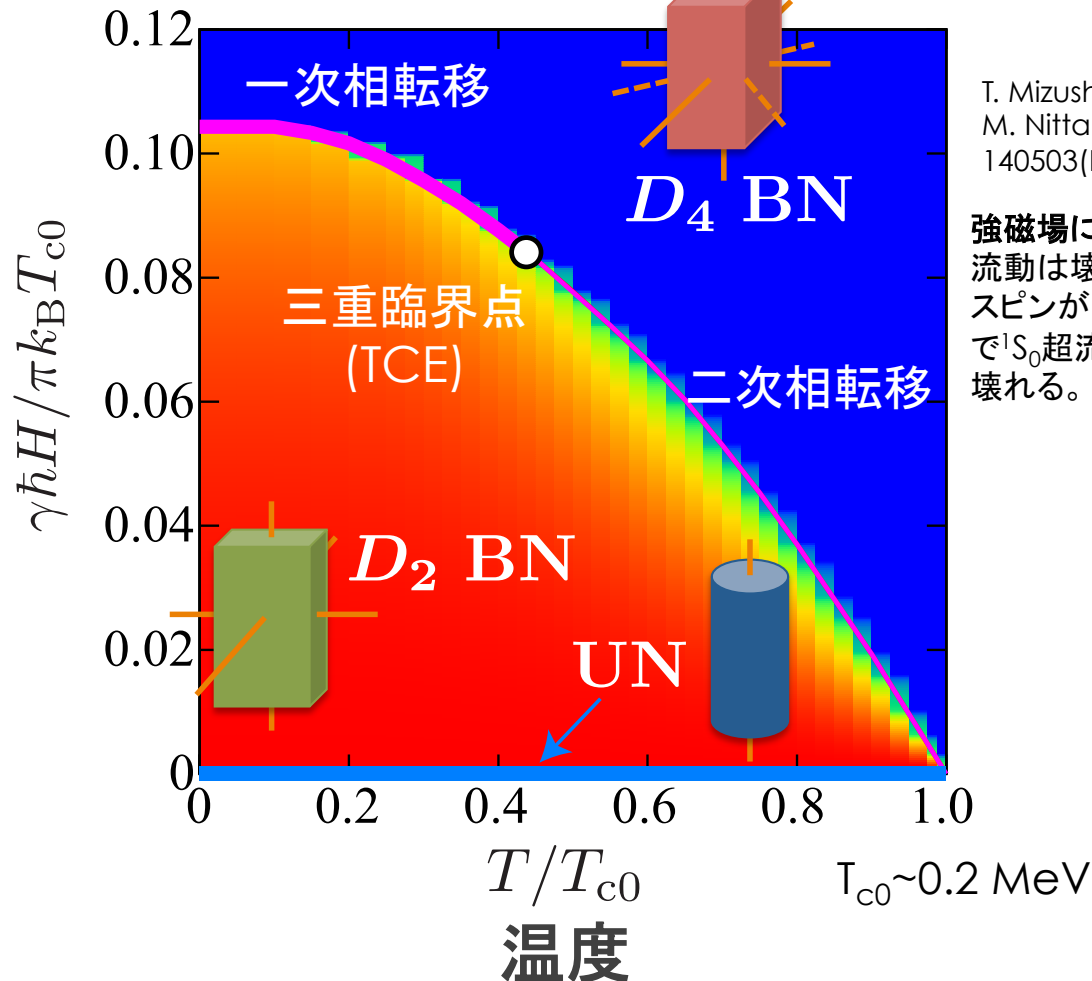


マグネター



中性子星

磁場



T. Mizushima, K. Masuda,
M. Nitta, Phys. Rev. B95,
140503(R) (2017)

強磁場に対する耐性: 強磁場でも 3P_2 超流動は壊れない(準古典近似)。これはスピが**平行**であるためである。一方で 1S_0 超流動はスピが**反平行**なので壊れる。

2. 中性子 3P_2 超流動の相図

Ginzburg-Landau (GL) 理論

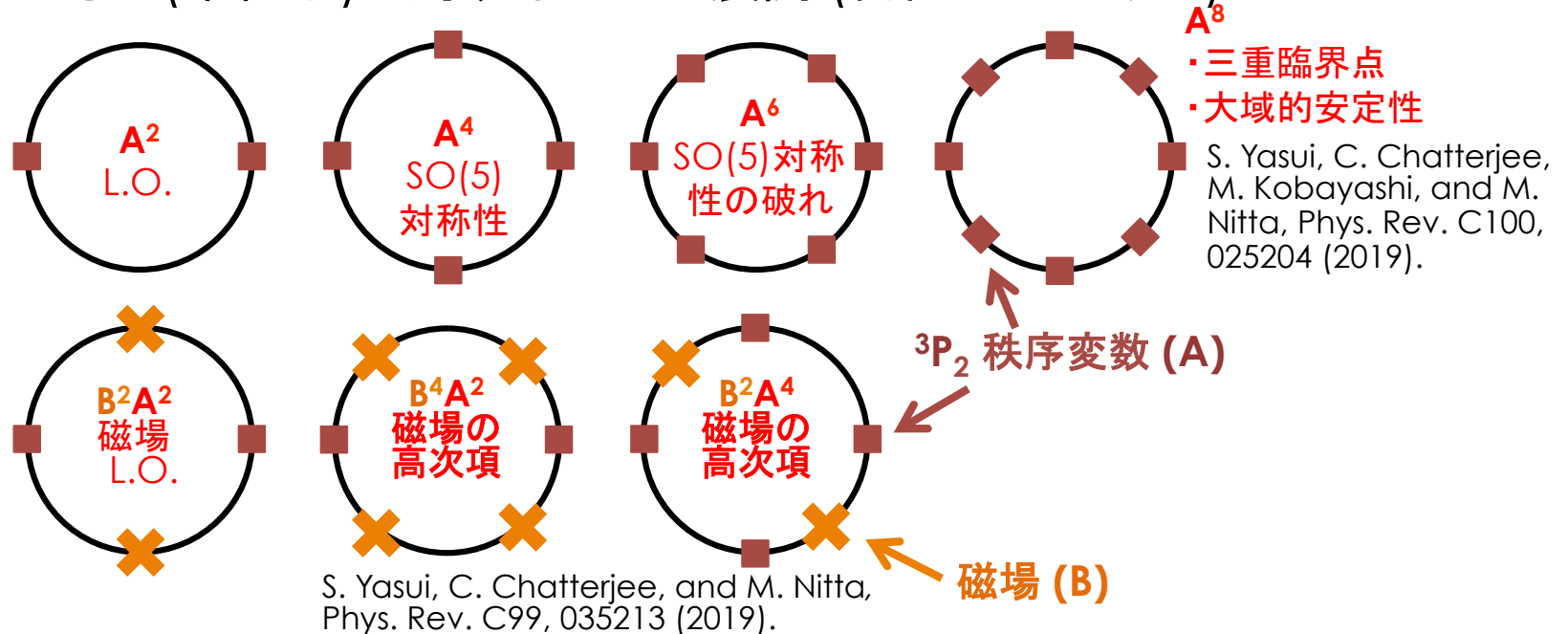
(A: テンソル型秩序変数, B: 磁場)

Tabakin (1968), Hoffenberg, Glassgold, Richardson, Ruderman (1970), Tamagaki (1970), Takatsuka, Tamagaki (1971), Takatsuka (1972), ...

$$A_{ab} \sim \psi S^a \nabla^b \psi \quad a,b=1,2,3$$

$$f = A^2 + A^4 + A^6 + A^8 + B^2 A^2 + B^4 A^2 + B^2 A^4 + \dots$$

✓ フェルミオン(中性子)に対するループ展開 (自由エネルギー)



2. 中性子 3P_2 超流動の相図

Ginzburg-Landau (GL) 理論

(A: テンソル型秩序変数, B: 磁場)

Tabakin (1968), Hoffenberg, Glassgold, Richardson, Ruderman (1970), Tamagaki (1970), Takatsuka, Tamagaki (1971), Takatsuka (1972), ...

$$A_{ab} \sim \psi S^a \nabla^b \psi \quad a,b=1,2,3$$

$$f = A^2 + A^4 + A^6 + A^8 + B^2 A^2 + B^4 A^2 + B^2 A^4 + \dots$$

$$f[A] = K^{(0)} \left(\nabla_{xi} A^{ba*} \nabla_{xi} A^{ab} + \nabla_{xi} A^{ia*} \nabla_{xj} A^{aj} + \nabla_{xi} A^{ja*} \nabla_{xj} A^{ai} \right) \quad A^2 \rightarrow \text{運動項}$$

$$A^2 \rightarrow \text{L.O.} \quad +\alpha^{(0)} (\text{tr} A^* A) + \beta^{(0)} \left((\text{tr} A^* A)^2 - (\text{tr} A^{*2} A^2) \right) \quad A^4 \rightarrow \text{SO(5)対称性 (擬Nambu-Goldstoneボソン)}$$

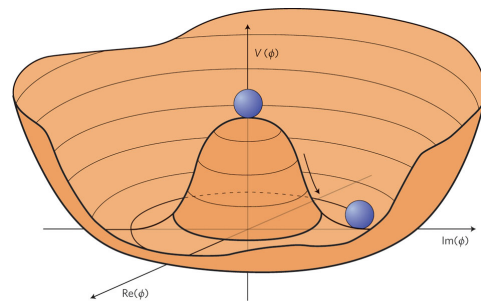
$$+\gamma^{(0)} \left(-3(\text{tr} A^* A)(\text{tr} A^2)(\text{tr} A^{*2}) + 4(\text{tr} A^* A)^3 + 6(\text{tr} A^* A)(\text{tr} A^{*2} A^2) + 12(\text{tr} A^* A)(\text{tr} A^* A A^* A) \right. \\ \left. -6(\text{tr} A^{*2})(\text{tr} A^* A^3) - 6(\text{tr} A^2)(\text{tr} A^* A^3) - 12(\text{tr} A^{*3} A^3) + 12(\text{tr} A^{*2} A^2 A^* A) + 8(\text{tr} A^* A A^* A A^* A) \right) \quad A^6 \rightarrow \text{SO(5)対称性の破れ}$$

$$+\delta^{(0)} \left((\text{tr} A^{*2})^2 (\text{tr} A^2)^2 + 2(\text{tr} A^{*2})^2 (\text{tr} A^4) - 8(\text{tr} A^{*2})(\text{tr} A^* A A^* A)(\text{tr} A^2) - 8(\text{tr} A^{*2})(\text{tr} A^* A)^2 (\text{tr} A^2) \right. \\ \left. -32(\text{tr} A^{*2})(\text{tr} A^* A)(\text{tr} A^* A^3) - 32(\text{tr} A^{*2})(\text{tr} A^* A A^* A^3) - 16(\text{tr} A^{*2})(\text{tr} A^* A^2 A^* A^2) \right. \\ \left. +2(\text{tr} A^{*4})(\text{tr} A^2)^2 + 4(\text{tr} A^{*4})(\text{tr} A^4) - 32(\text{tr} A^{*3} A)(\text{tr} A^* A)(\text{tr} A^2) \right. \\ \left. -64(\text{tr} A^{*3} A)(\text{tr} A^* A^3) - 32(\text{tr} A^{*3} A A^* A)(\text{tr} A^2) - 64(\text{tr} A^{*3} A^2 A^* A^2) - 64(\text{tr} A^{*3} A^3)(\text{tr} A^* A) \right. \\ \left. -64(\text{tr} A^{*2} A A^{*2} A^3) - 64(\text{tr} A^{*2} A A^* A^2)(\text{tr} A^* A) + 16(\text{tr} A^{*2} A^2)^2 + 32(\text{tr} A^{*2} A^2)(\text{tr} A^* A)^2 \right. \\ \left. +32(\text{tr} A^{*2} A^2)(\text{tr} A^* A A^* A) + 64(\text{tr} A^{*2} A^2 A^2 A^2) - 16(\text{tr} A^{*2} A A^{*2} A)(\text{tr} A^2) + 8(\text{tr} A^* A)^4 \right. \\ \left. +48(\text{tr} A^* A)^2 (\text{tr} A^* A A^* A) + 192(\text{tr} A^* A)(\text{tr} A^* A A^{*2} A^2) + 64(\text{tr} A^* A)(\text{tr} A^* A A^* A A^* A) \right. \\ \left. -128(\text{tr} A^* A A^{*3} A^3) + 64(\text{tr} A^* A A^{*2} A A^* A^2) + 24(\text{tr} A^* A A^* A)^2 + 128(\text{tr} A^* A A^* A A^{*2} A^2) \right. \\ \left. +48(\text{tr} A^* A A^* A A^* A A^* A) \right) \quad A^8$$

- ・三重臨界点
- ・大域的安定性

$$B^2 A^2 \rightarrow \text{L.O.} \quad +\beta^{(2)} B^t A^* A B + \beta^{(4)} |B|^2 B^t A^* A B \quad B^4 A^2 \rightarrow \text{磁場の高次項}$$

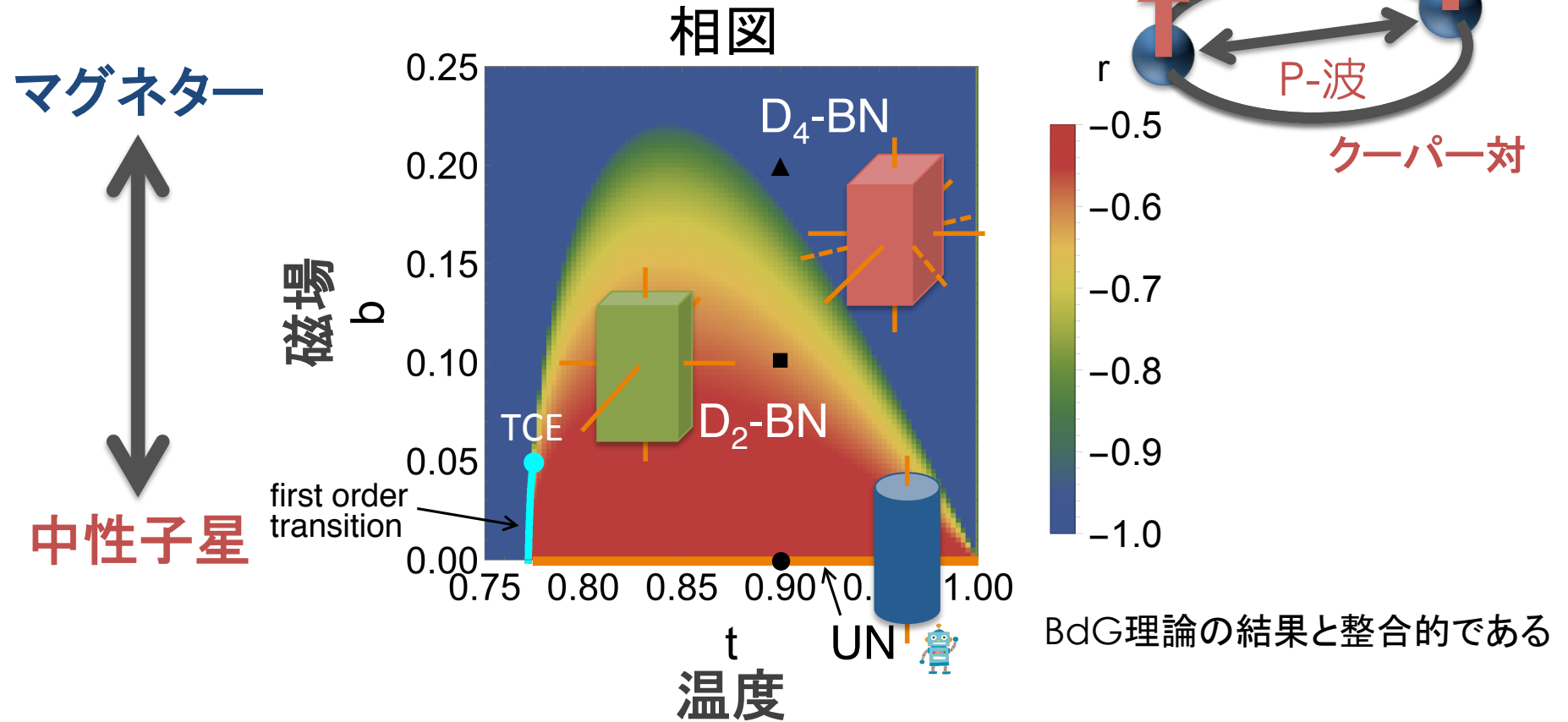
$$+\gamma^{(2)} \left(-2|B|^2 (\text{tr} A^2)(\text{tr} A^{*2}) - 4|B|^2 (\text{tr} A^* A)^2 + 4|B|^2 (\text{tr} A^* A A^* A) + 8|B|^2 (\text{tr} A^{*2} A^2) \right. \\ \left. +B^t A^2 B (\text{tr} A^{*2}) - 8B^t A^* A B (\text{tr} A^* A) + B^t A^{*2} B (\text{tr} A^2) + 2B^t A A^{*2} A B \right. \\ \left. +2B^t A^* A^2 A^* B - 8B^t A^* A A^* A B - 8B^t A^{*2} A^2 B \right) \quad B^2 A^4 \rightarrow \text{磁場の高次項}$$



2. 中性子 3P_2 超流動の相図

Ginzburg-Landau (GL) 理論

(A: テンソル型秩序変数, B: 磁場)



magnetic field	zero	weak	strong
bulk phase	UN	D ₂ -BN	D ₄ -BN

2. 中性子 $^3\text{P}_2$ 超流動の相図

— 臨界指数($\alpha, \beta, \gamma, \delta$) —

比熱: $C_V(T, B_{\text{cep}}) - C_V(T_{\text{cep}}, B_{\text{cep}}) \propto |T - T_{\text{cep}}|^{-\alpha},$

磁化: $M(T, B_{\text{cep}}) - M(T_{\text{cep}}, B_{\text{cep}}) \propto |T - T_{\text{cep}}|^\beta,$

$M(T_{\text{cep}}, B) - M(T_{\text{cep}}, B_{\text{cep}}) \propto |B - B_{\text{cep}}|^{1/\delta},$

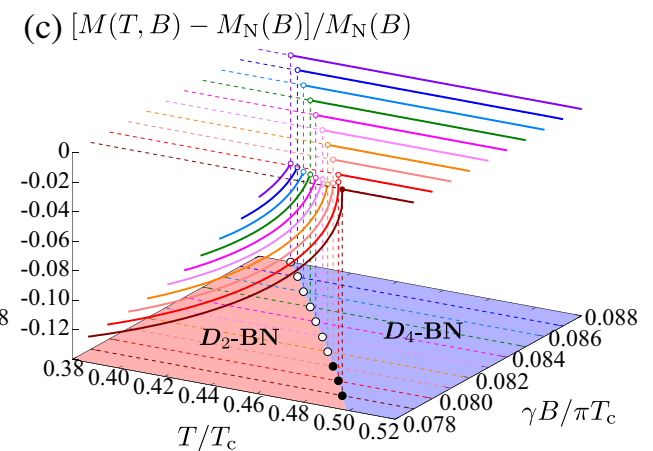
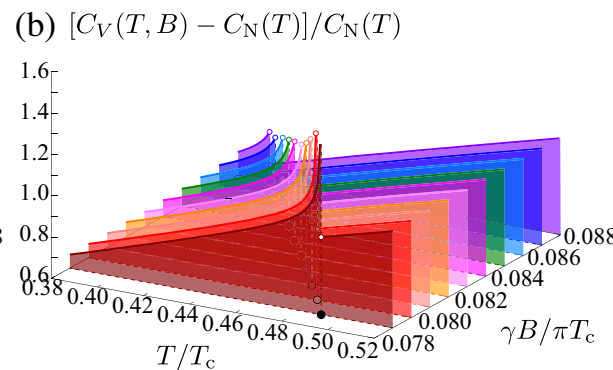
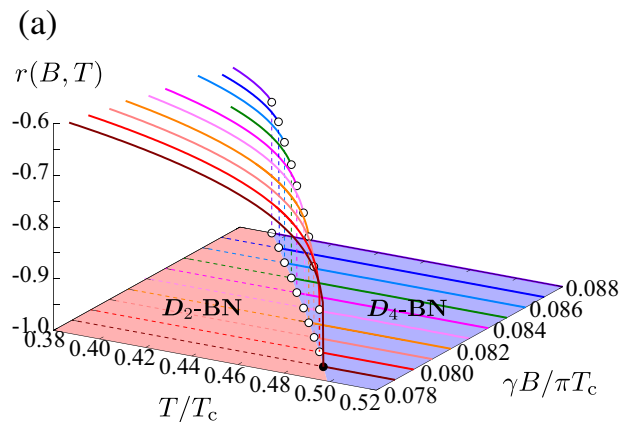
スピン磁化率: $\chi(T, B_{\text{cep}}) - \chi(T_{\text{cep}}, B_{\text{cep}}) \propto |T - T_{\text{cep}}|^{-\gamma},$

三重臨界点(TCE)における物理量の発散

r ($-1 \leq r \leq -1/2$)

C: 比熱

M: 磁化



2. 中性子 $^3\text{P}_2$ 超流動の相図

—— 臨界指数($\alpha, \beta, \gamma, \delta$) ——

比熱: $C_V(T, B_{\text{cep}}) - C_V(T_{\text{cep}}, B_{\text{cep}}) \propto |T - T_{\text{cep}}|^{-\alpha},$

磁化: $M(T, B_{\text{cep}}) - M(T_{\text{cep}}, B_{\text{cep}}) \propto |T - T_{\text{cep}}|^{\beta},$

$M(T_{\text{cep}}, B) - M(T_{\text{cep}}, B_{\text{cep}}) \propto |B - B_{\text{cep}}|^{1/\delta},$

スピン磁化率: $\chi(T, B_{\text{cep}}) - \chi(T_{\text{cep}}, B_{\text{cep}}) \propto |T - T_{\text{cep}}|^{-\gamma},$

フェルミ液体 パラメーター		比熱	磁化	スピン磁化率	磁化
	$G_0^{(n)}$	α	β	γ	δ
BdG	-0.7	0.68	0.41	0.57	2.3
	-0.4	0.60	0.45	0.59	2.3
GL		0.60	0.49	0.52	1.95

$\alpha \gg 0$

$\gamma < 1$

新しい臨界指数のユニバーサリティクラス

2. 中性子 $^3\text{P}_2$ 超流動の相図

さまざまな物質における臨界指数

dimension	α	β	γ	δ	ν	η	class
2	1/3	1/9	13/9		5/6		3-state Potts
2	2/3	1/12	7/6		2/3		Ashkin-Teller (4-state Potts)
1		0	1		1		Ordinary percolation
2	-2/3	5/36 = 0.1388...	43/18 = 2.388...	91/5 = 18.2	4/3	5/24 = 0.20833...	Ordinary percolation
3	-0.625(3)	0.4181(8)	1.793(3)	5.29(6)	0.87619(12)	0.46(8) or 0.59(9)	Ordinary percolation
4	-0.756(40)	0.657(9)	1.422(16)		0.689(10)	-0.0944(28)	Ordinary percolation
5		0.830(10)	1.185(5)		0.569(5)		Ordinary percolation
6+	-1	1	1	2	1/2	0	Ordinary percolation
1	0.159464(6)	0.276486 +/- 0.000008	2.277730(5)	0.159464(6)	1.096854 +/- 0.000004	0.313686(8)	Directed percolation
2	0.451	0.536 +/- 0.003	1.60	0.451	0.733 +/- 0.008	0.230	Directed percolation
3	0.73	0.813 +/- 0.009	1.25	0.73	0.584 +/- 0.005	0.12	Directed percolation
4+	-1	1	1	2	1/2	0	Directed percolation
3	-0.12(1)	0.366(2)	1.395(5)		0.707(3)	0.035(2)	Heisenberg
2	0	1/8	7/4	15	1	1/4	2D Ising
3	0.11007(7)	0.32653(10)	1.2373(2)	4.7893(8)	0.63012(16)	0.03639(15)	3D Ising
							Local linear interface
all	0	1/2	1	3	1/2	0	Mean field
							Molecular beam epitaxy
							Random field
3	-0.0146(8)	0.3485(2)	1.3177(5)	4.780(2)	0.67155(27)	0.0380(4)	XY

3 dim. $\alpha \gg 0$

$\gamma < 1$

← 新しい！！

https://en.wikipedia.org/wiki/Universality_class

内容

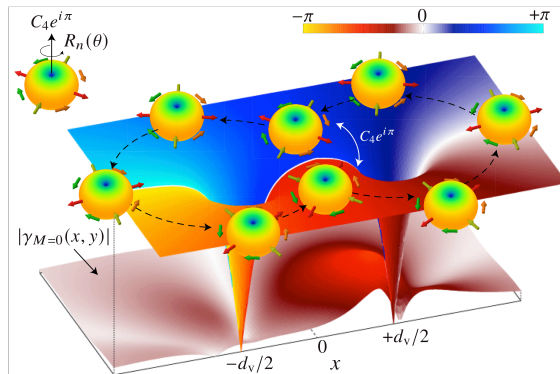
1. はじめに：中性子星とは？超流動とは？
2. 中性子 3P_2 超流動の相図：核物理の観点から
3. 中性子星における中性子 3P_2 超流動
4. まとめと今後の課題

3. 中性子星における中性子 3P_2 超流動

中性子星/マグネターにおけるさまざまな物質相

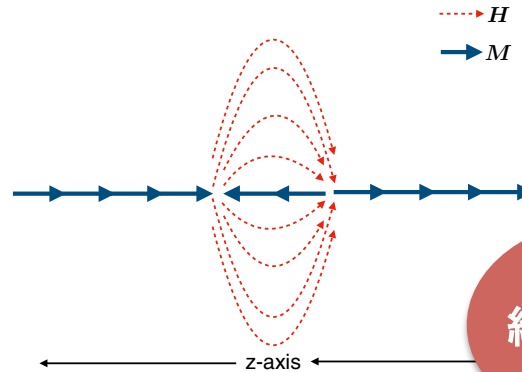
半整数量子渦

Y. Masaki, T. Mizushima, M. Nitta,
arXiv:2107.02448 [cond-mat.supr-con]



ソリトン励起

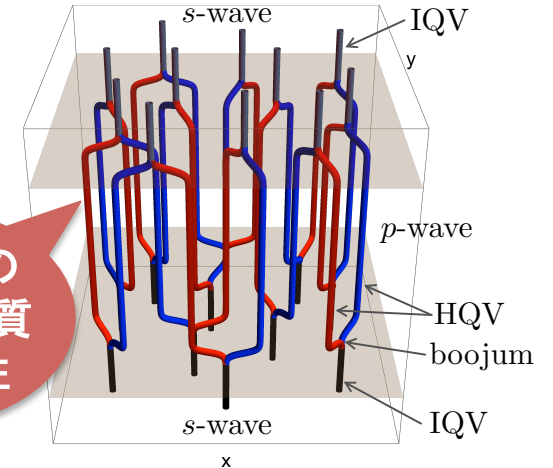
C. Chatterjee, M. Haberichter, M. Nitta,
PRC96, 055807 (2017)



グリッチの
統計的性質
の普遍性

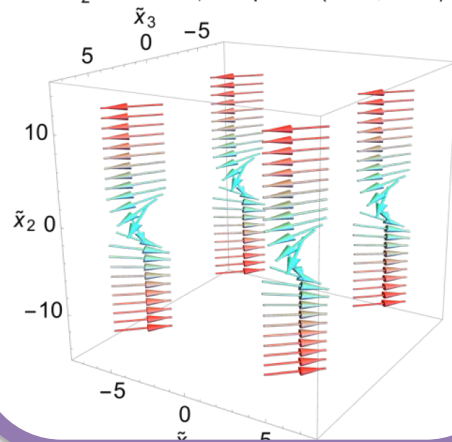
量子渦ネットワーク

G. Marmoni, S. Yasui, M. Nitta,
arXiv:2010/09032 [astro-ph.HE]



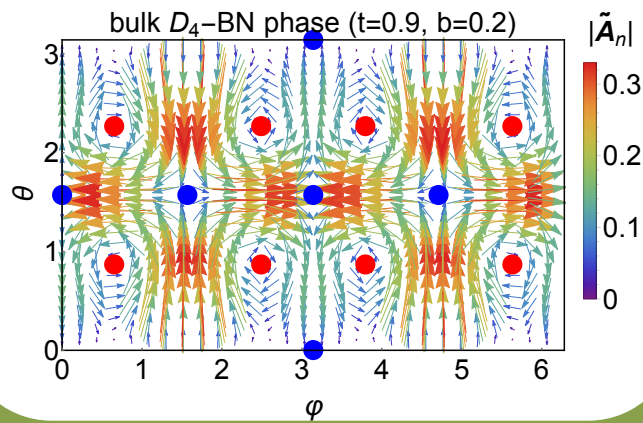
ドメインウォール

S. Yasui, M. Nitta, PRC101, 015207 (2020)
 W_2^{13} in bulk D_4 -BN phase ($t=0.9, b=0.2$)



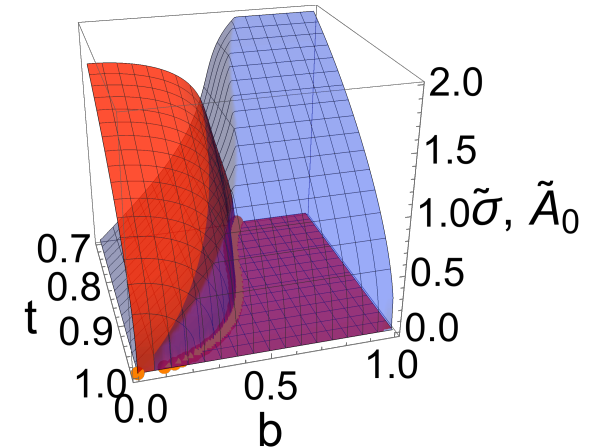
表面トポロジカル欠陥

S. Yasui, C. Chatterjee, M. Nitta, PRC101, 025204 (2020)



1S_0 - 3P_2 混合相

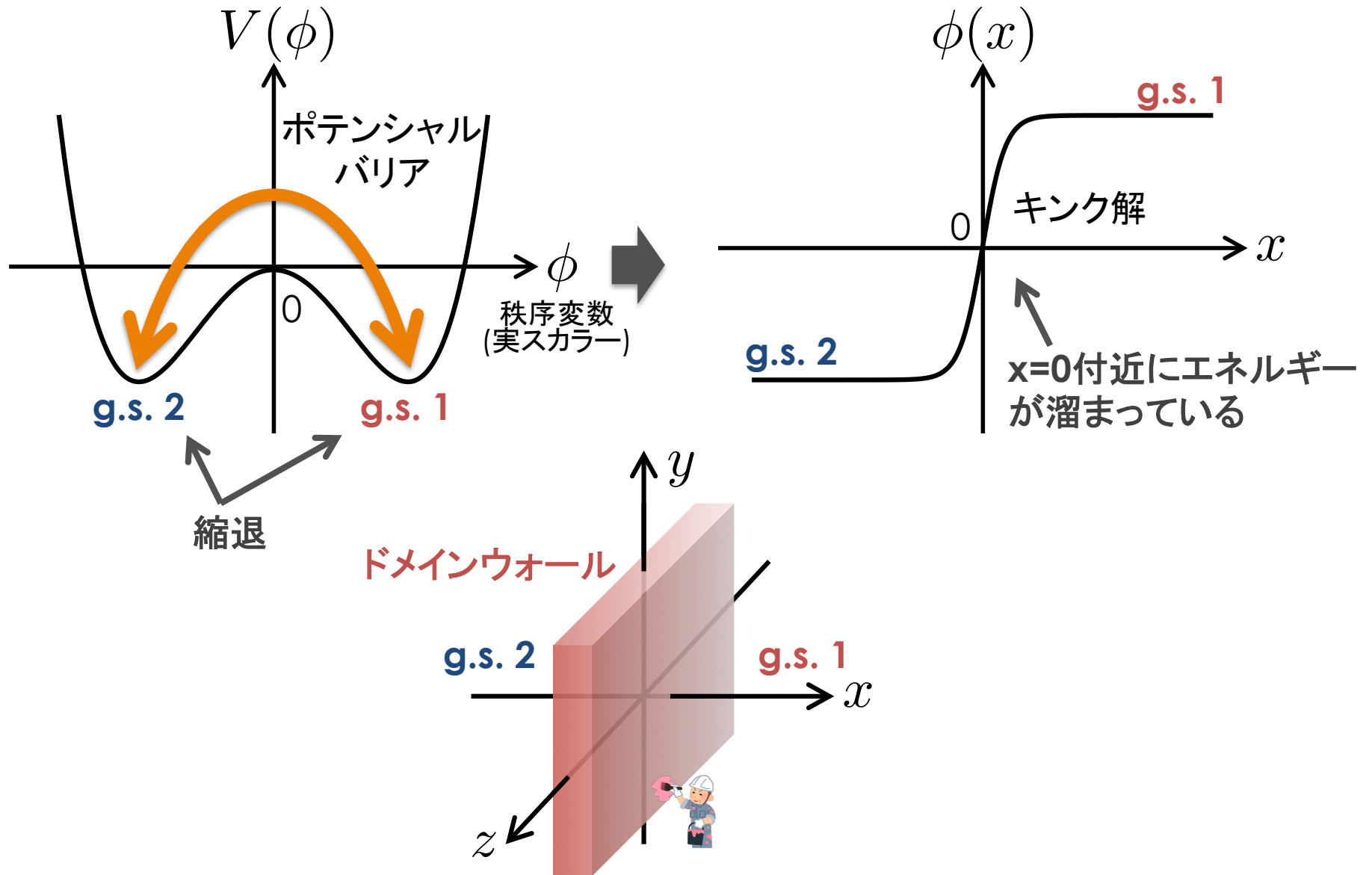
S. Yasui, D. Inotani, M. Nitta,
PRC101, 055806 (2020)



... etc.

3.1 ドメインウォール

ドメインウォール: 二つの異なる基底状態をつなぐ一次元の非一様な解



3.1 ドメインウォール

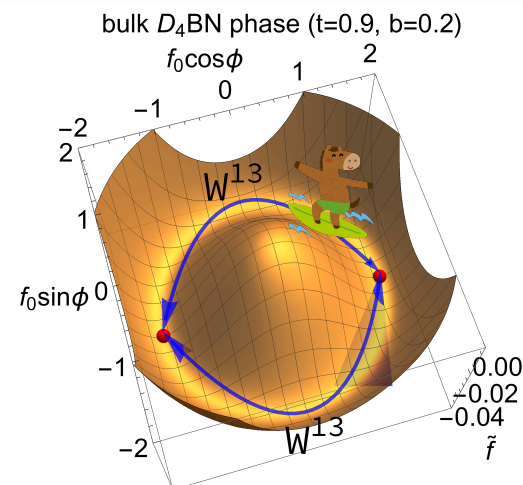
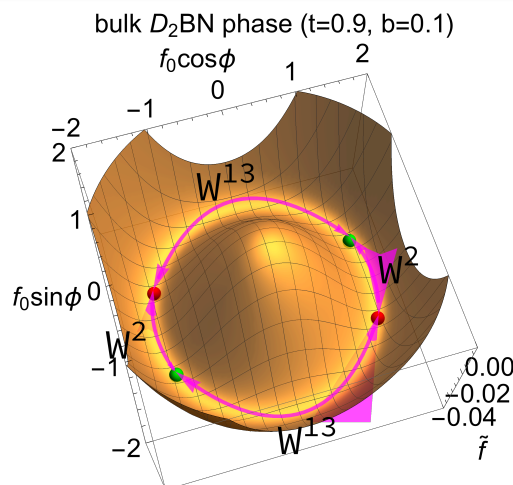
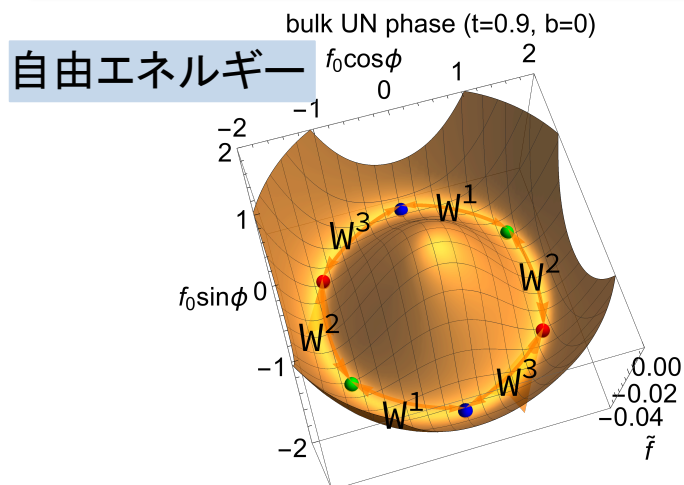
3P_2 秩序変数 (スピン × 軌道角運動量)

仮説
(対角成分だけをもつ)

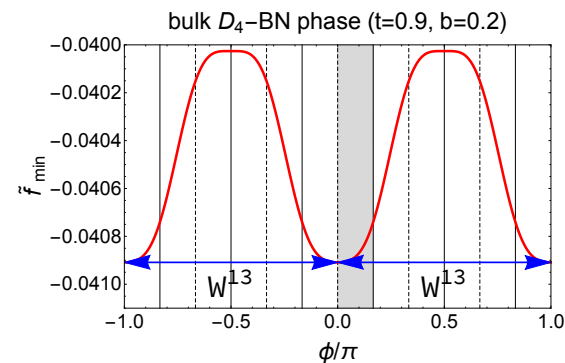
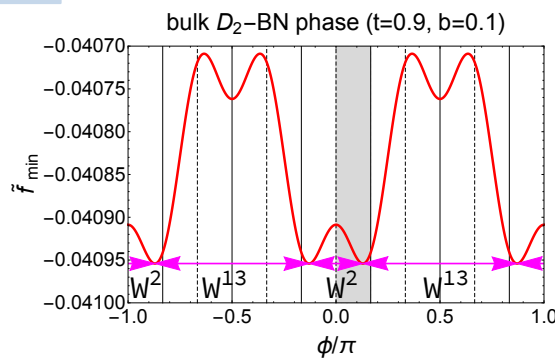
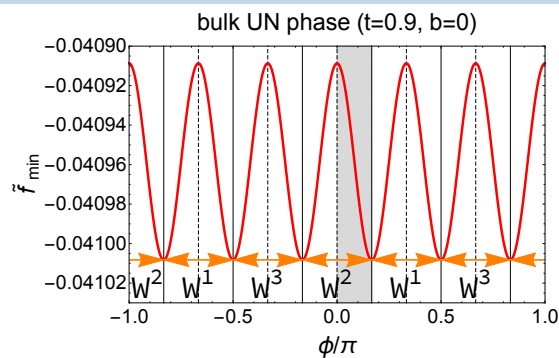
$$A \propto \text{diag}(f_1, f_2, f_3)$$

$f_1 + f_2 + f_3 = 0$
対称・トレースレステンソル

$$f_1 = \left(\frac{\cos \phi}{\sqrt{2}} - \frac{\sin \phi}{\sqrt{6}} \right) f_0, \quad f_2 = \sqrt{\frac{2}{3}} (\sin \phi) f_0, \quad f_3 = \left(-\frac{\cos \phi}{\sqrt{2}} - \frac{\sin \phi}{\sqrt{6}} \right) f_0$$



自由エネルギー (谷底の角度依存性)



中性子星



マグネター

3.1 ドメインウォール

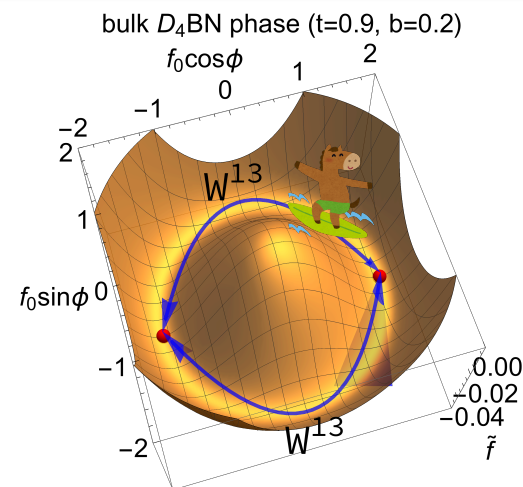
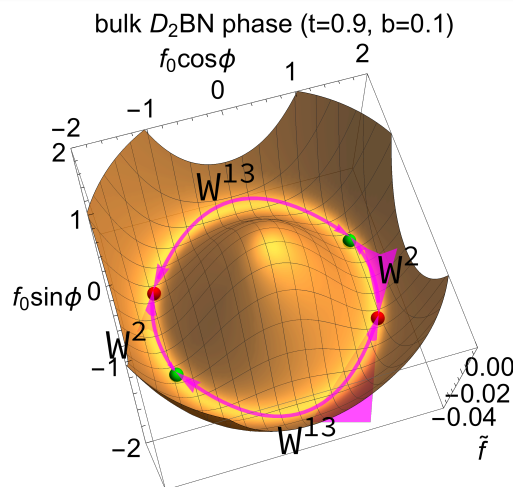
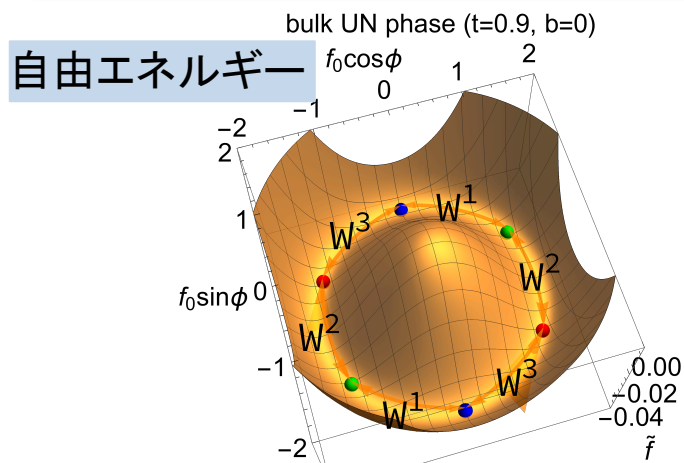
3P_2 秩序変数 (スピン × 軌道角運動量)

仮説
(対角成分だけをもつ)

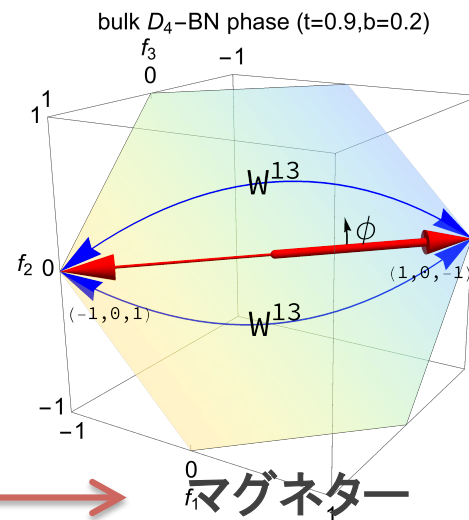
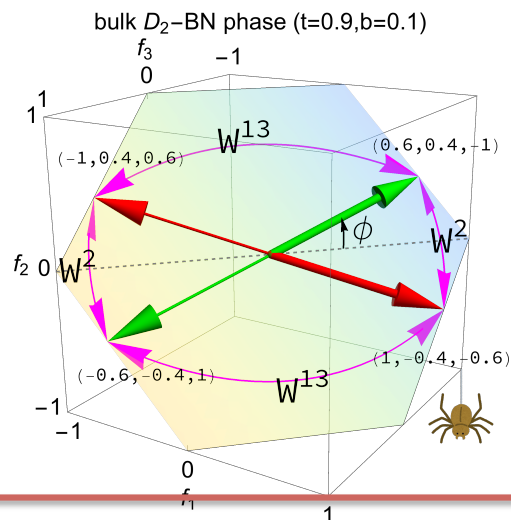
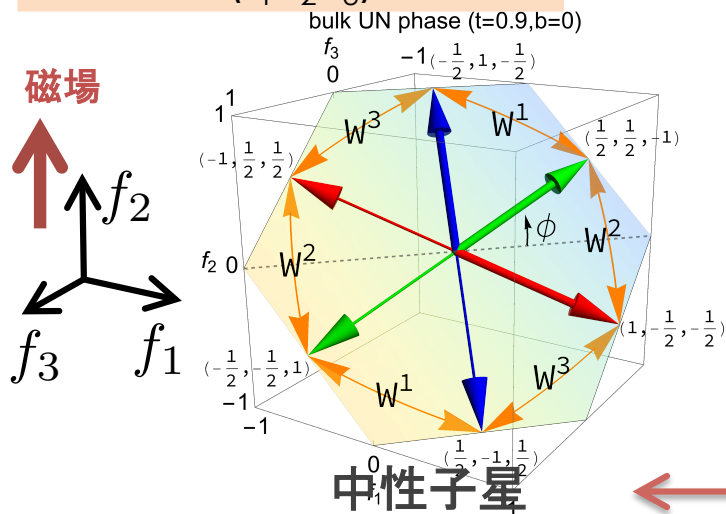
$$A \propto \text{diag}(f_1, f_2, f_3)$$

$f_1 + f_2 + f_3 = 0$
対称・トレースレステンソル

$$f_1 = \left(\frac{\cos \phi}{\sqrt{2}} - \frac{\sin \phi}{\sqrt{6}} \right) f_0, \quad f_2 = \sqrt{\frac{2}{3}} (\sin \phi) f_0, \quad f_3 = \left(-\frac{\cos \phi}{\sqrt{2}} - \frac{\sin \phi}{\sqrt{6}} \right) f_0$$



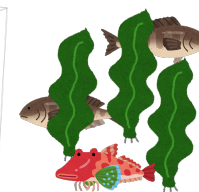
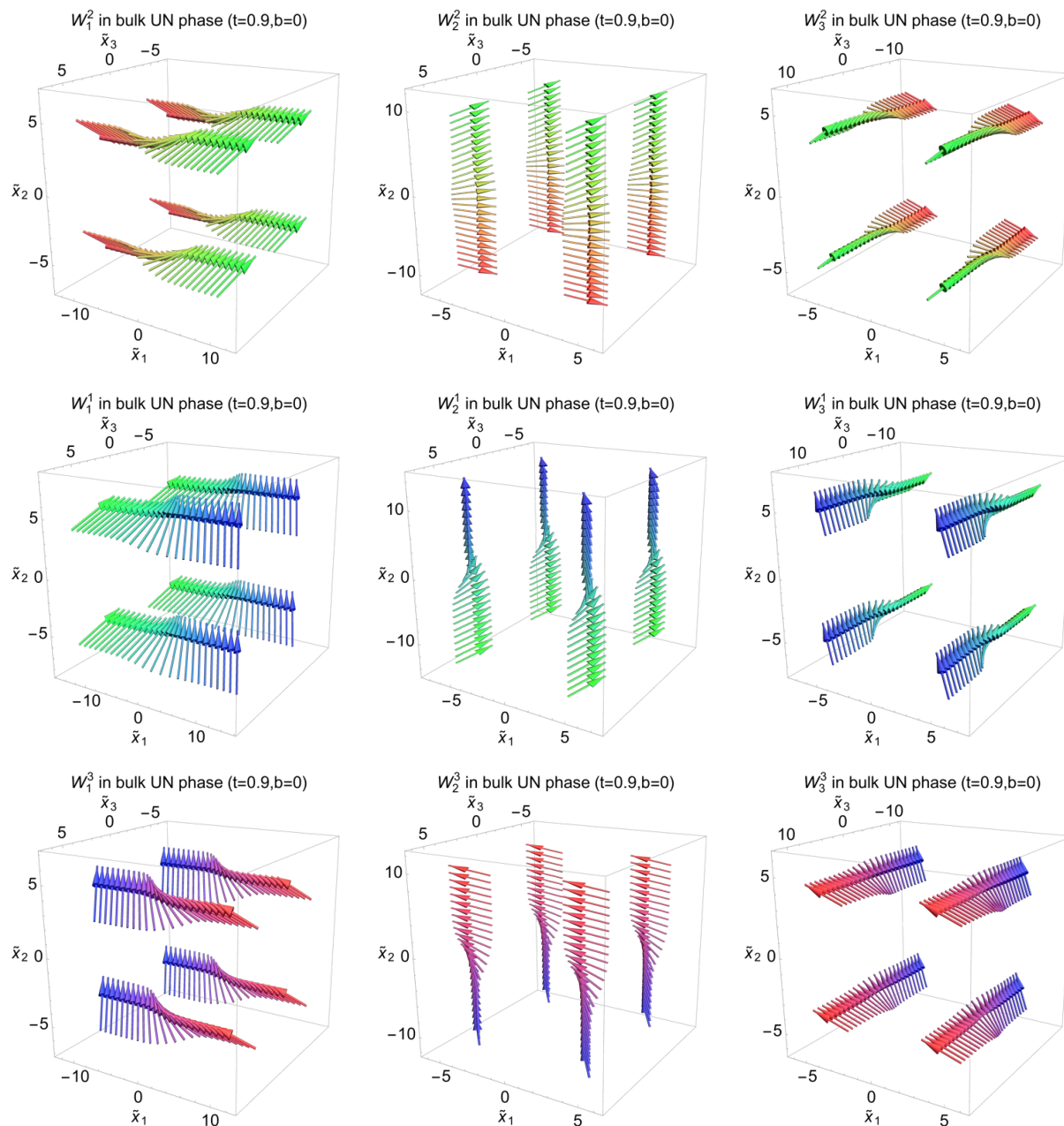
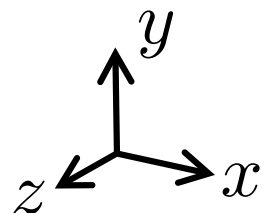
秩序変数: (f_1, f_2, f_3) ベクトル



3.1 ドメインウォール

秩序変数 (f_1, f_2, f_3) ベクトルによるドメインウォール

UN相
(中性子星)

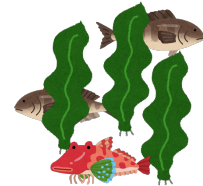
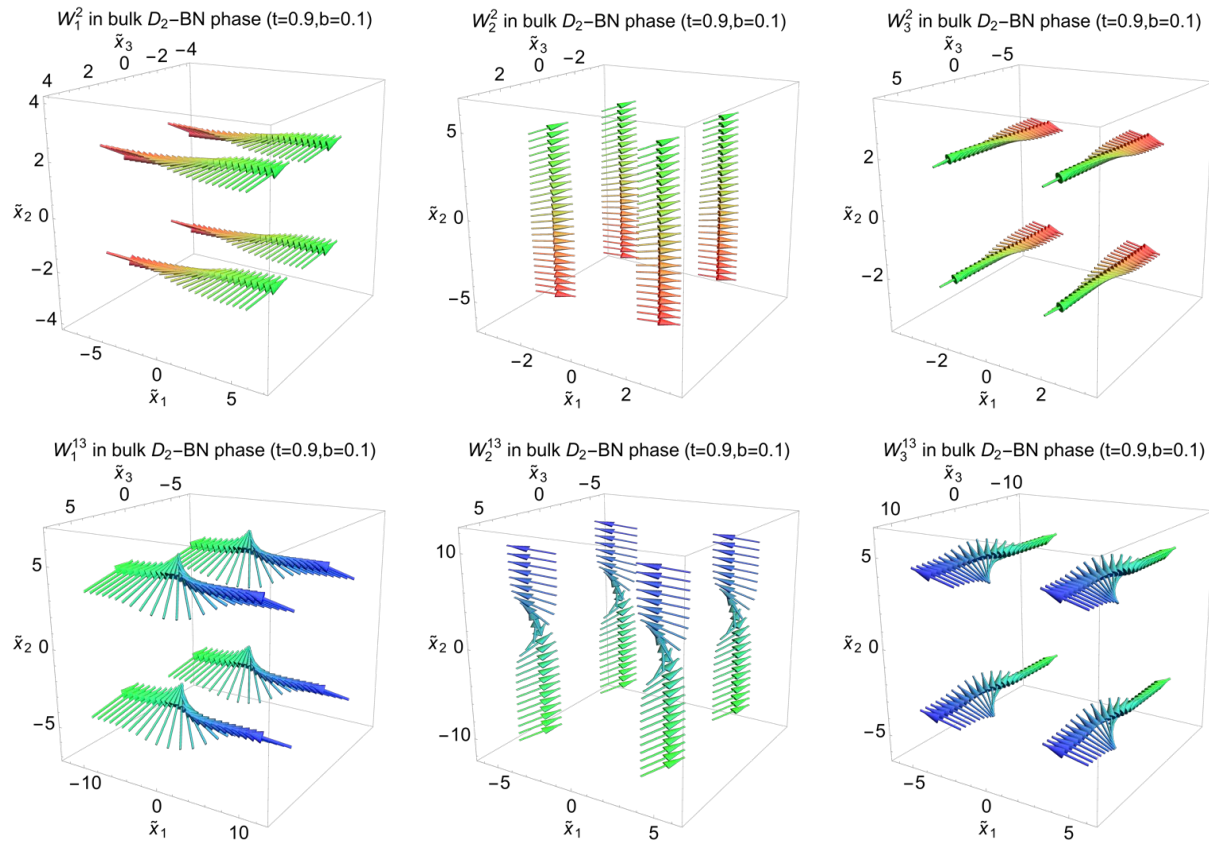
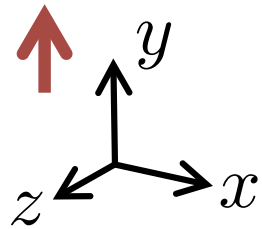


3.1 ドメインウォール

秩序変数 (f_1, f_2, f_3) ベクトルによるドメインウォール

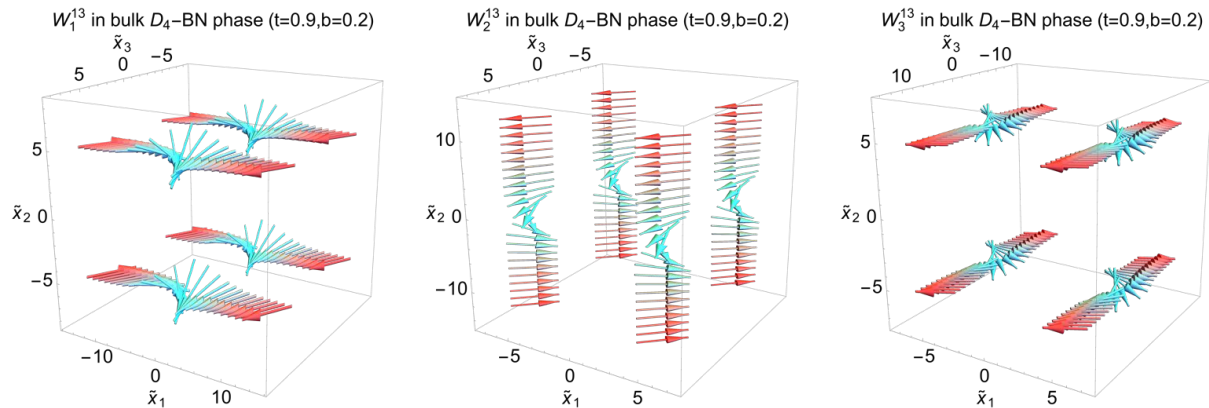
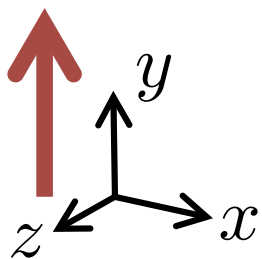
D_2 -BN相

弱い磁場

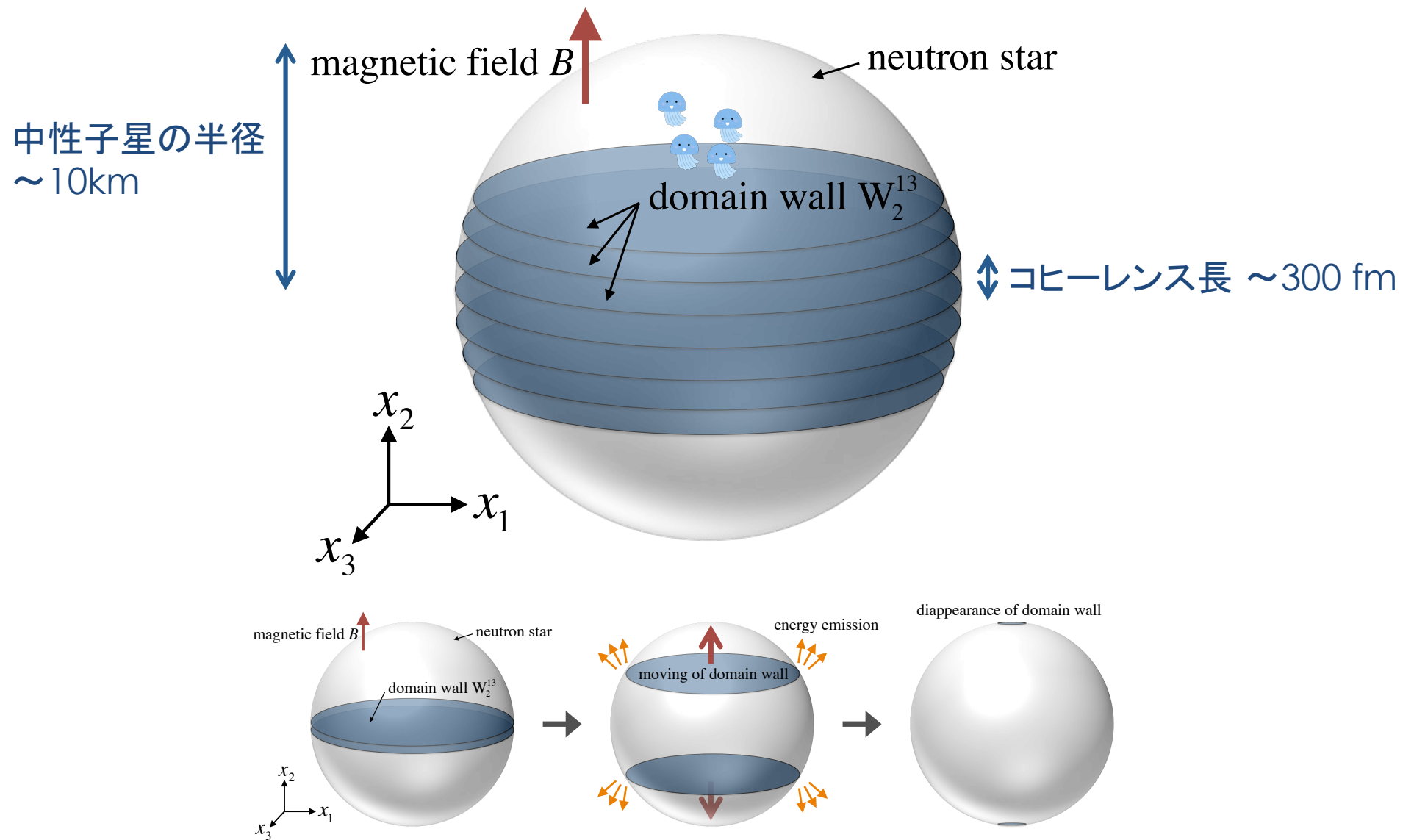


D_4 -BN相
(マグネター)

強い磁場

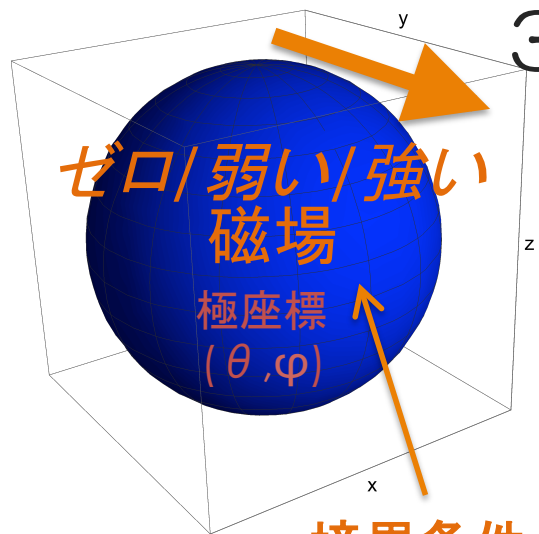


3.1 ドメインウォール



放出されるエネルギー ~ 10^{45} erg !

3.2 表面トポロジカル欠陥



境界条件

$$\vec{n}^t A \vec{n} = 0$$

法線ベクトル \vec{n}

0

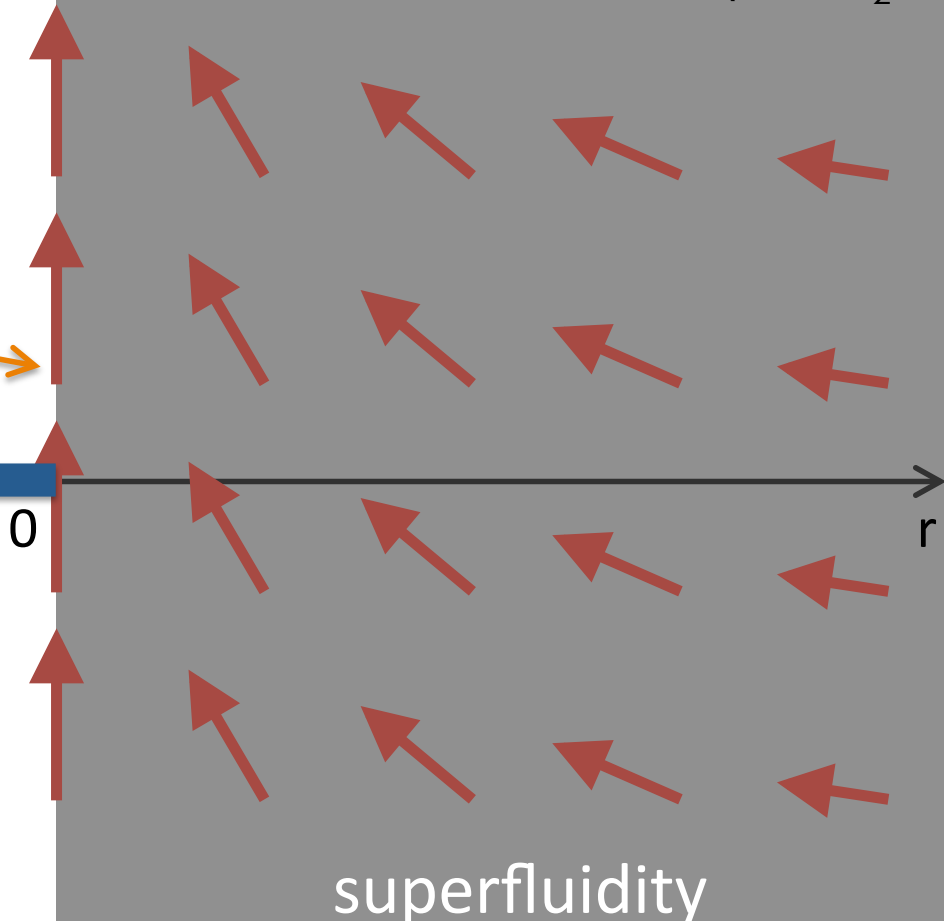
vacuum
(other phase)

表面

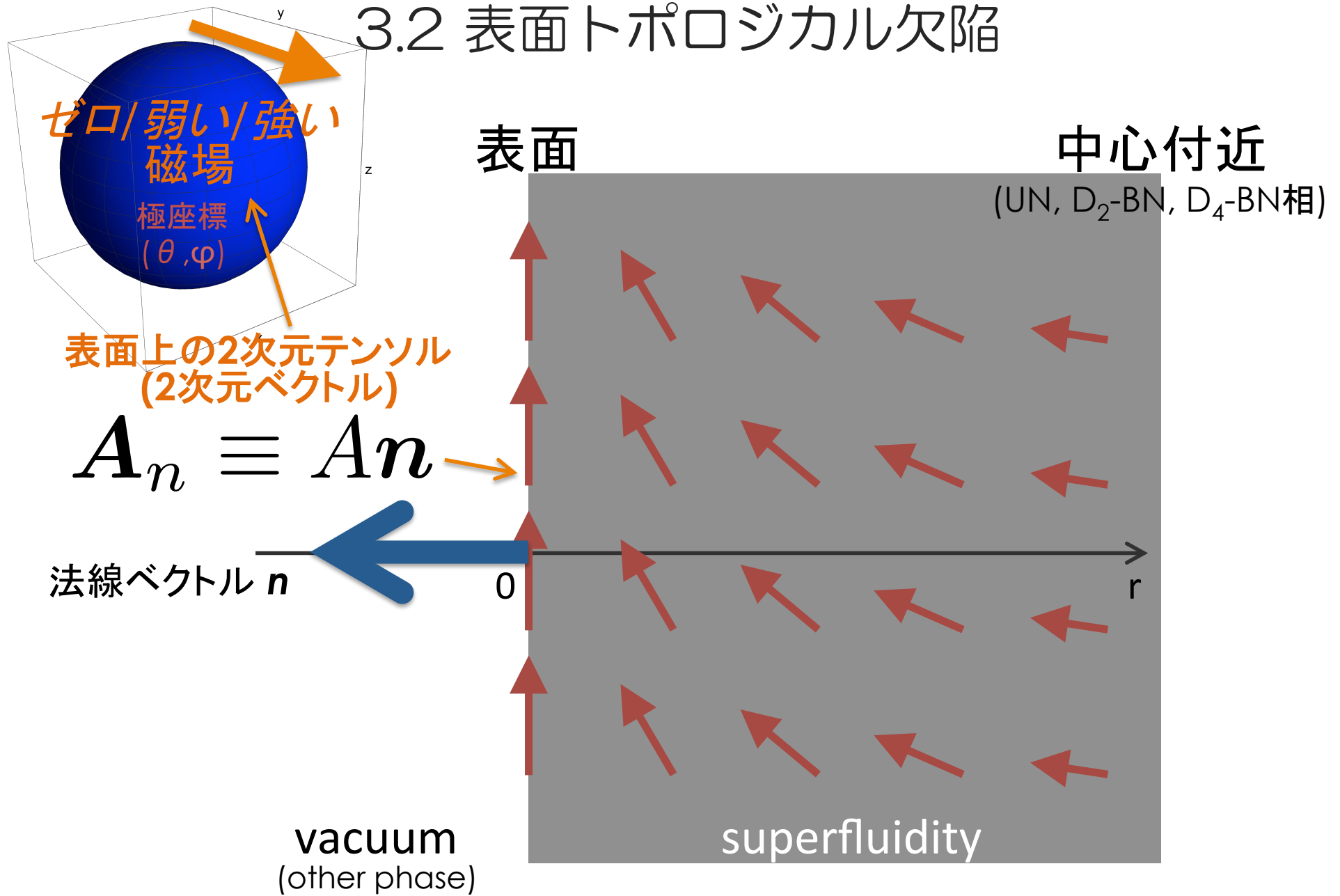
中心付近

(UN, D₂-BN, D₄-BN相)

superfluidity



3.2 表面トポロジカル欠陥

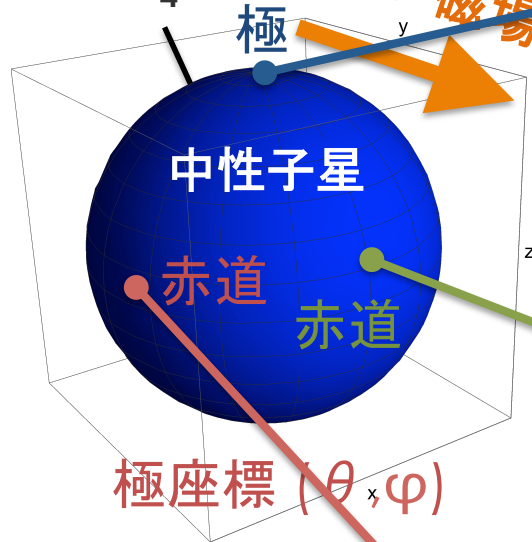


3.2 表面トポロジカル欠陥

例: 中心がD₄-BN相のとき

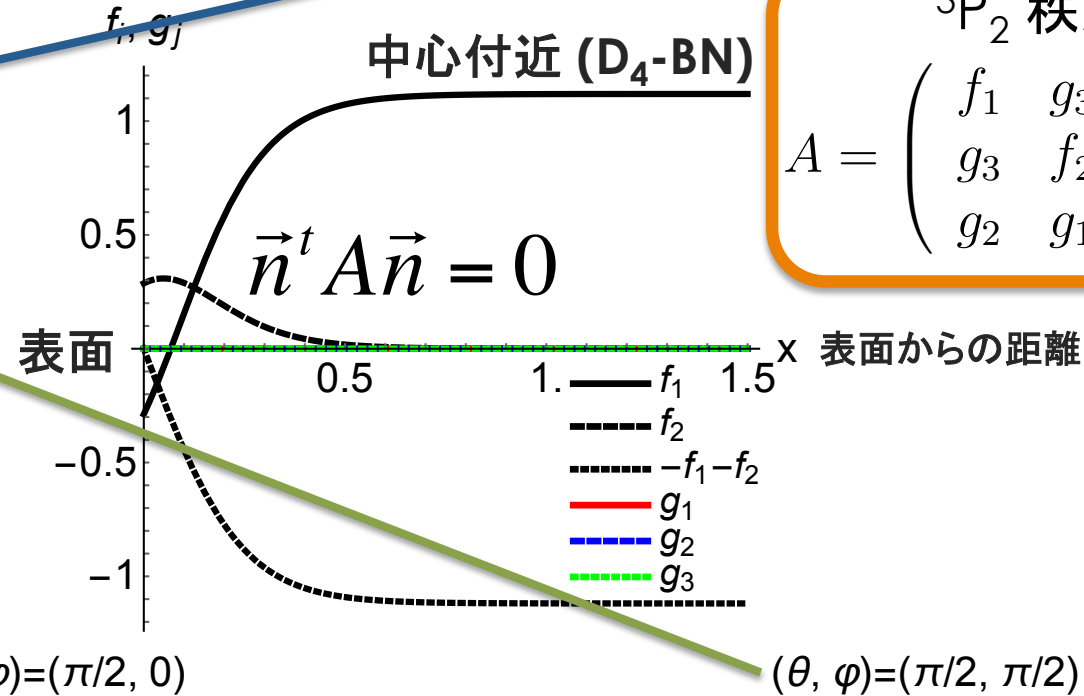
中心: D₄-BN

強い磁場



$(\theta, \varphi) = (0, 0)$

中心付近 (D₄-BN)

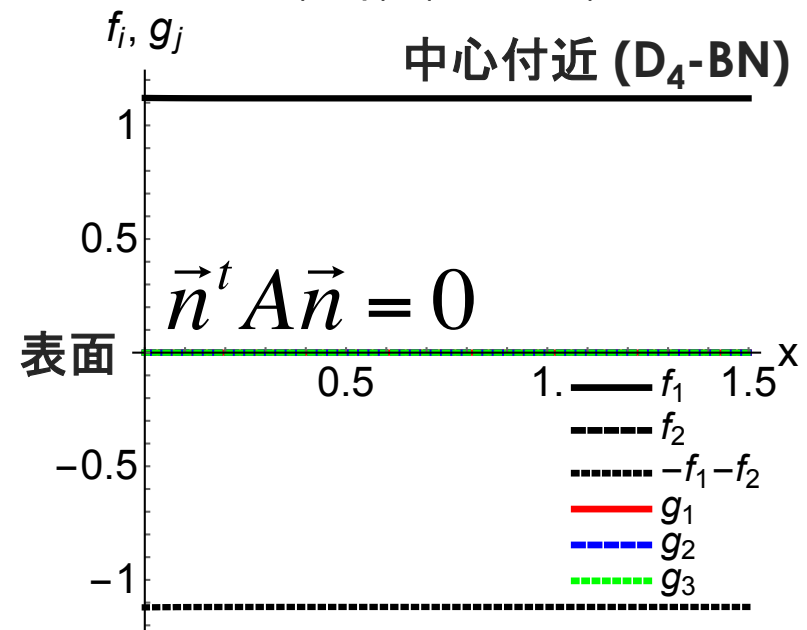
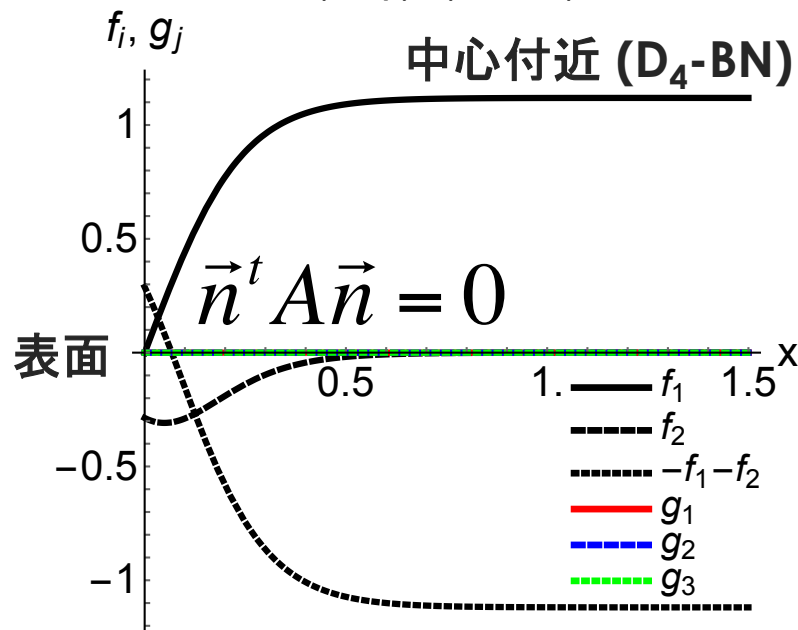


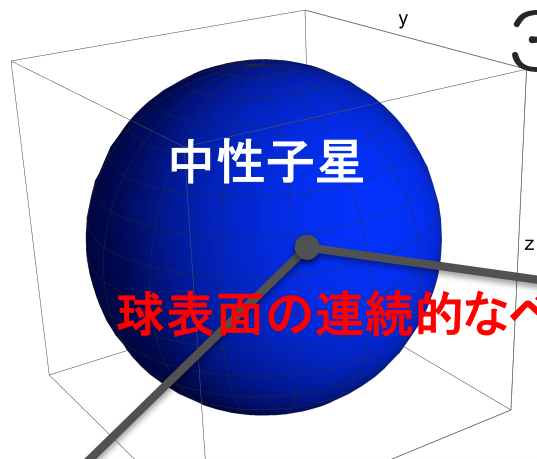
³P₂ 秩序変数

$$A = \begin{pmatrix} f_1 & g_3 & g_2 \\ g_3 & f_2 & g_1 \\ g_2 & g_1 & -f_1 - f_2 \end{pmatrix}$$

$(\theta, \varphi) = (\pi/2, 0)$

$(\theta, \varphi) = (\pi/2, \pi/2)$





3.2 表面トポロジカル欠陥

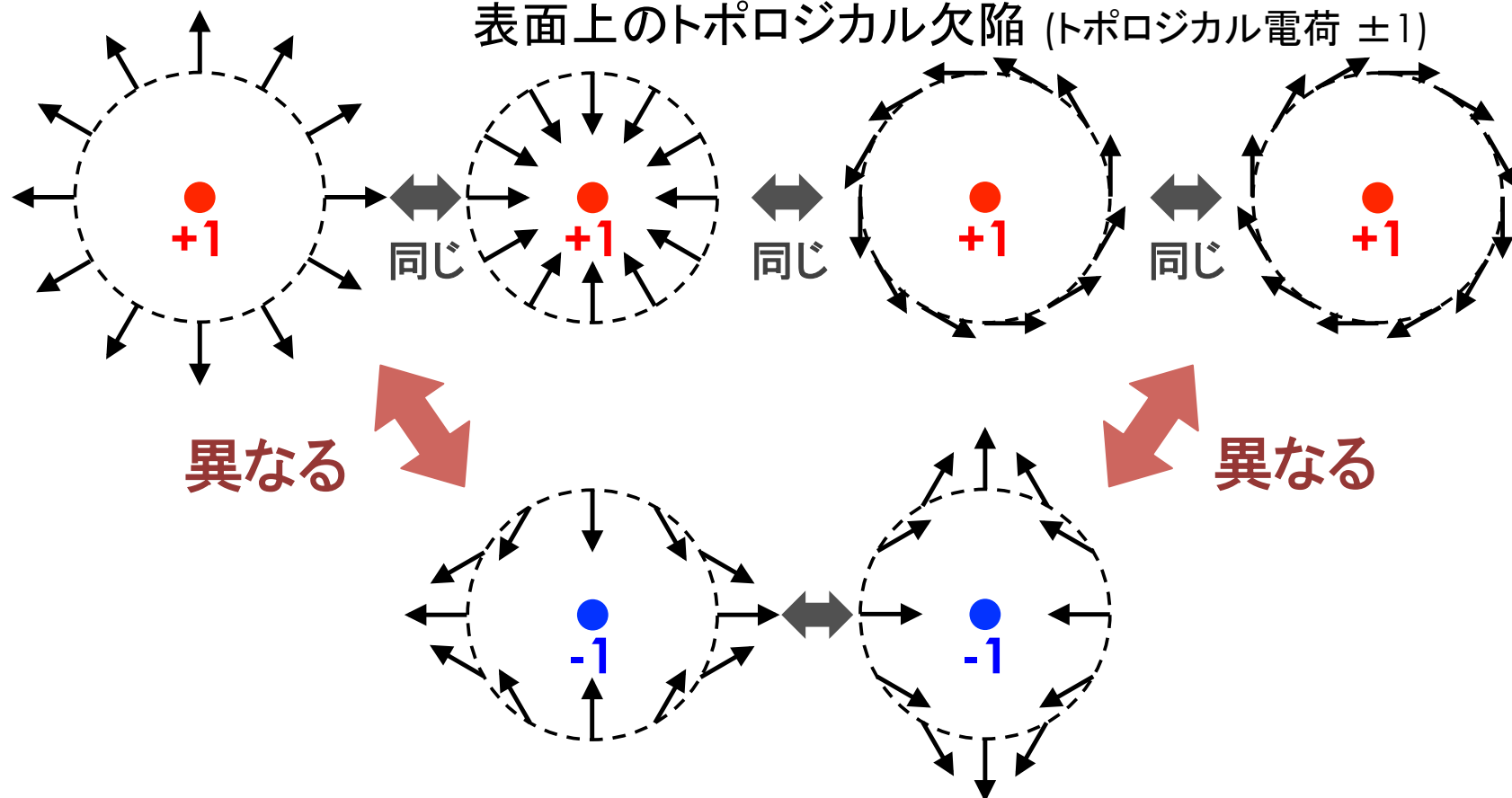
表面に射影されたテンソル場

$$A_n \equiv A n$$

球表面の連続的なベクトル場

欠陥=渦
 $(S^1 \times S^1)/Z_2$

表面上のトポロジカル欠陥 (トポロジカル電荷 ± 1)



中心: UN相

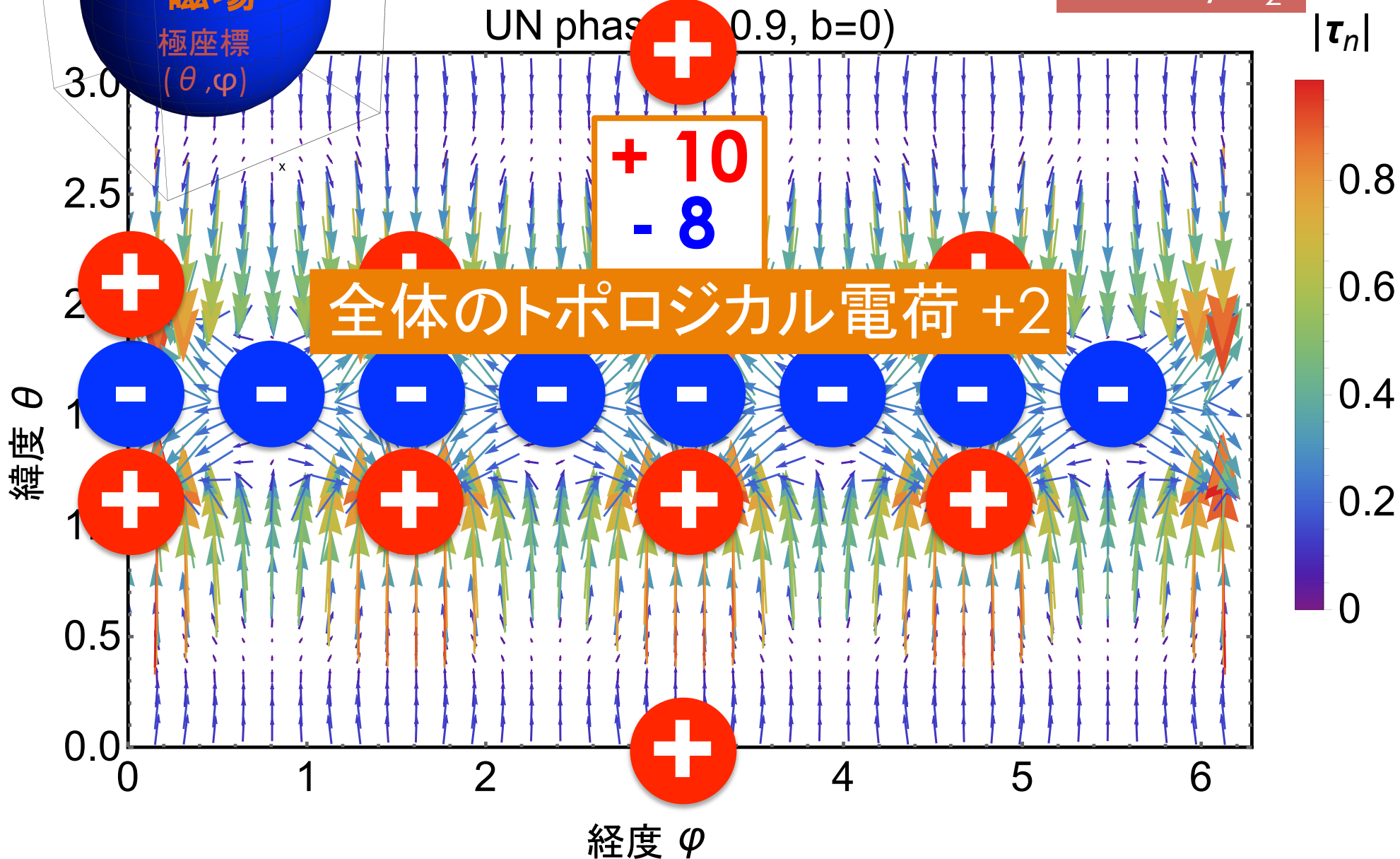
3.2 表面トポロジカル欠陥

表面に射影されたテンソル場

$$\mathbf{A}_n \equiv A\mathbf{n}$$

UN phase (0.9, b=0)

欠陥=渦
($S^1 \times S^1$)/ Z_2



中心: D_2 -BN相

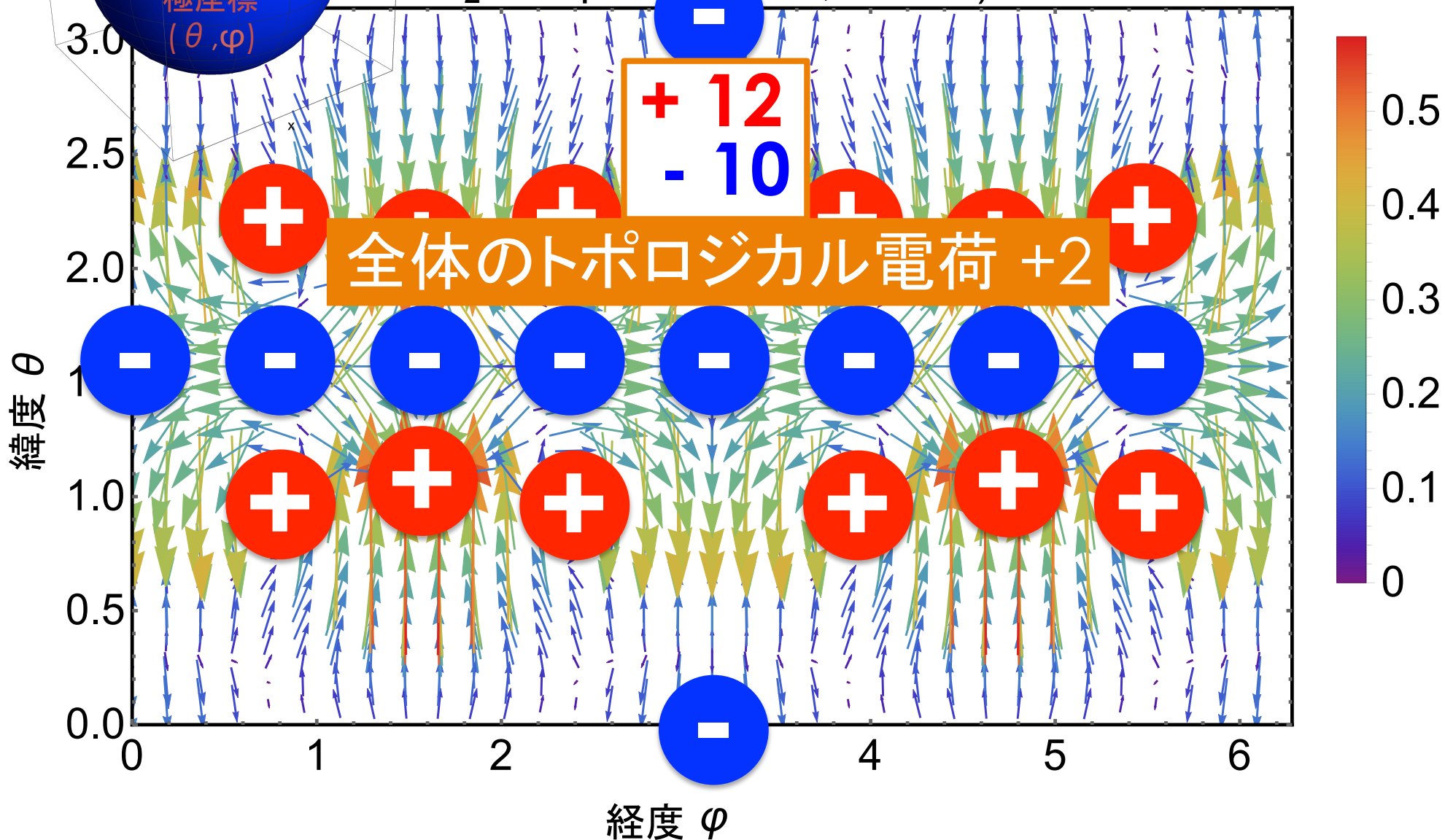
3.2 表面トポロジカル欠陥

表面に射影されたテンソル場

$$A_n \equiv A n$$

D_2 -BN phase $(-0.9, b=0.15)$

欠陥=渦
 $(S^1 \times S^1)/Z_2$



中心: D_4 -BN相

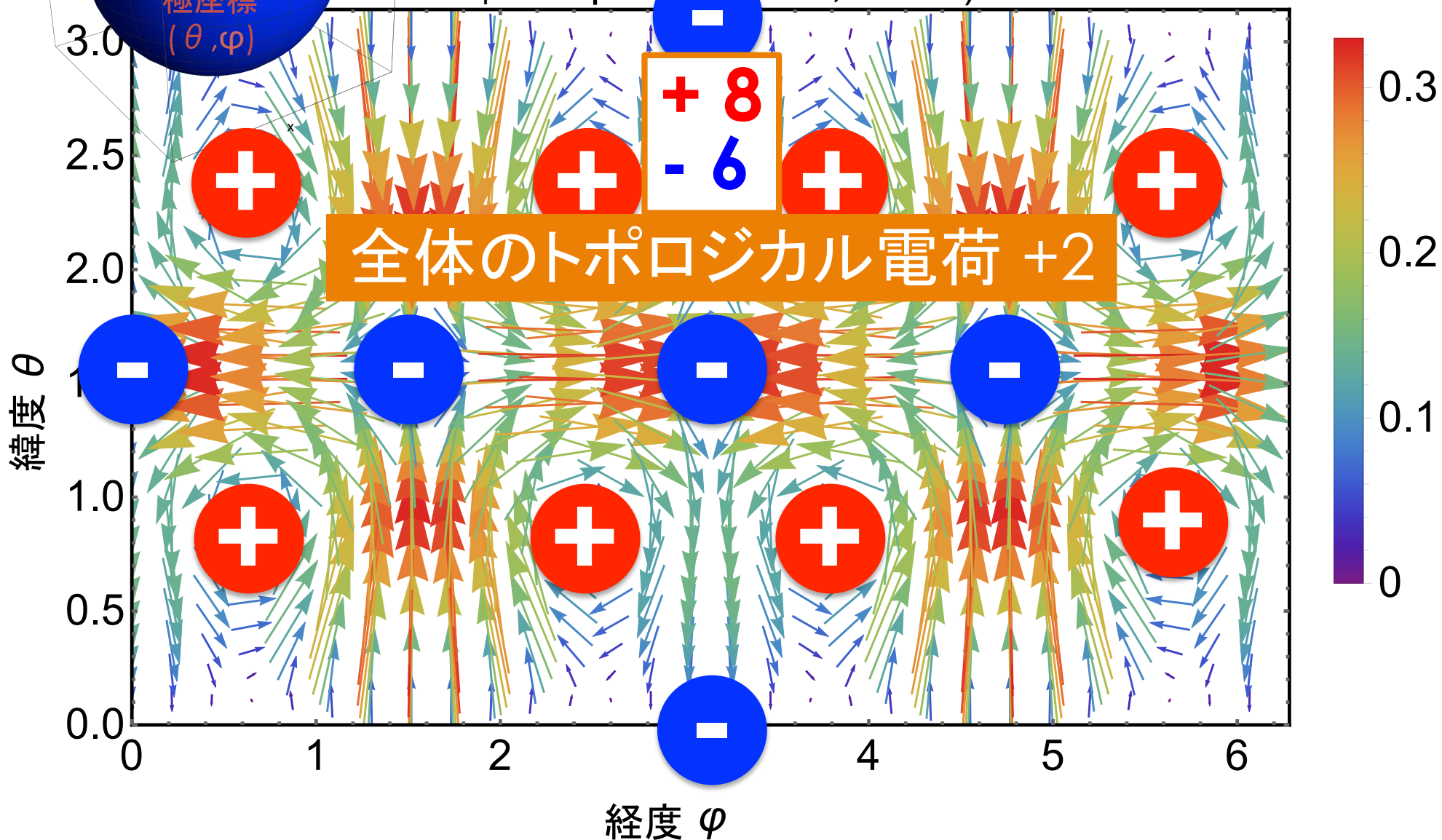
3.2 表面トポロジカル欠陥

表面に射影されたテンソル場

$$A_n \equiv A n$$

D_4 -BN phase ($a=0.9, b=0.2$)

欠陥=渦
 $(S^1 \times S^1)/Z_2$



3.2 表面トポロジカル欠陥

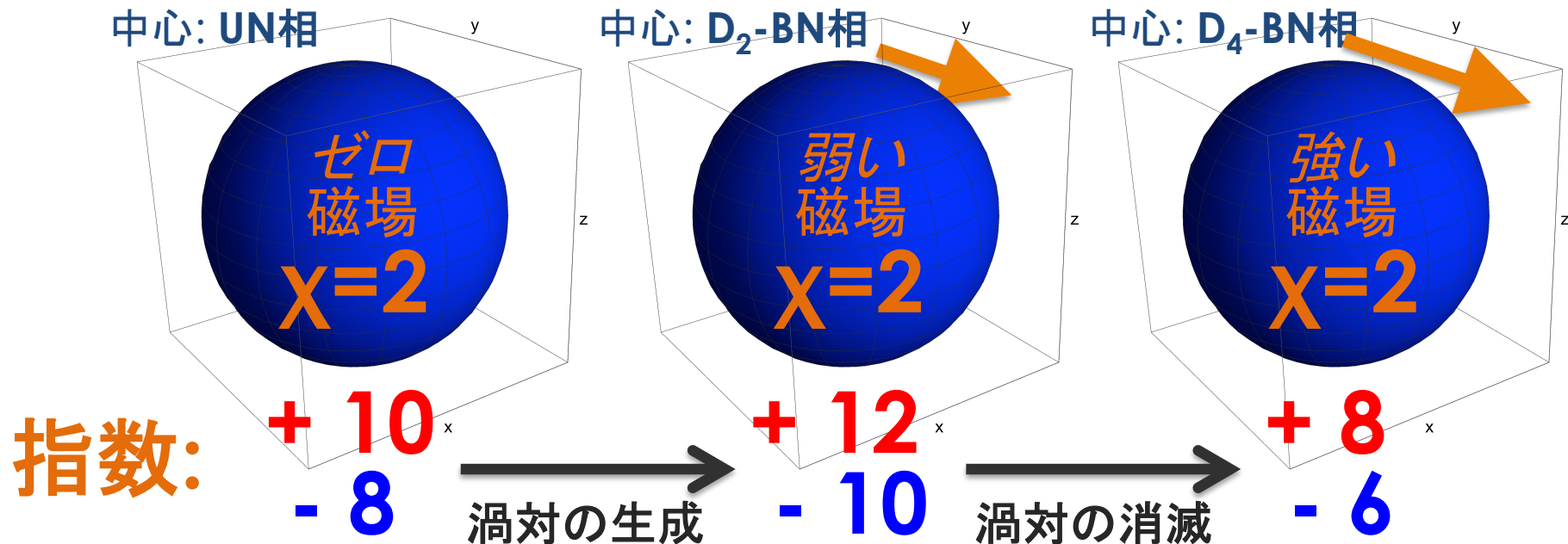
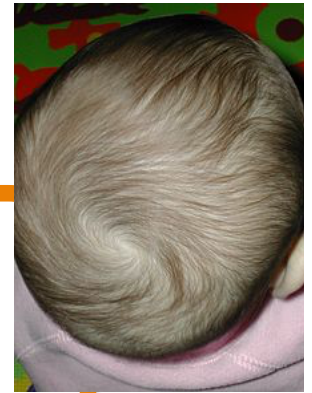
Poincaré-Hopf定理 (hairy ball theorem)

M : 多様体 (向きづけ可能), v : ベクトル場

$$\sum_{p \in M} \text{index}_p v = \chi(M)$$

v のゼロ点
(指数 $=\pm 1$)

オイラー特性数
 $\chi=2$ (球面)



3.2 表面トポロジカル欠陥

中性子星 ${}^3\text{P}_2$ 超流動の表面を見ると...

Poincaré-Hopf定理

バルク空間 + 境界 \rightarrow 表面渦

(中心付近)

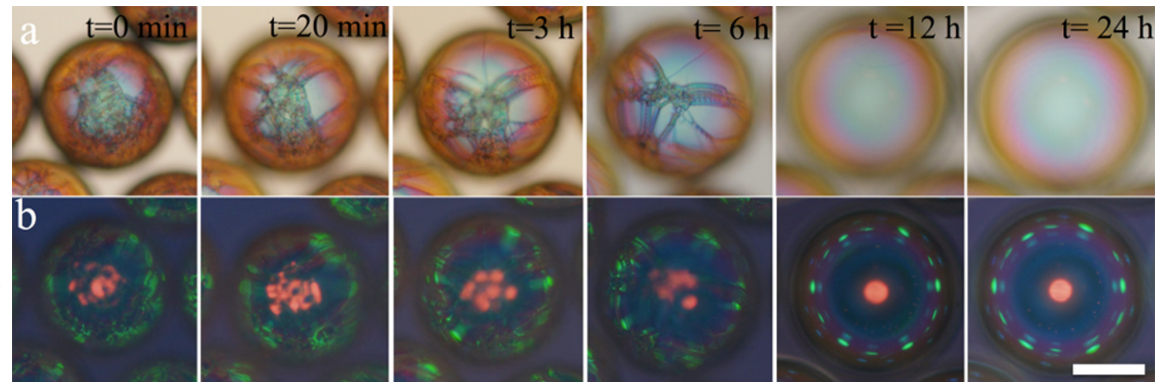
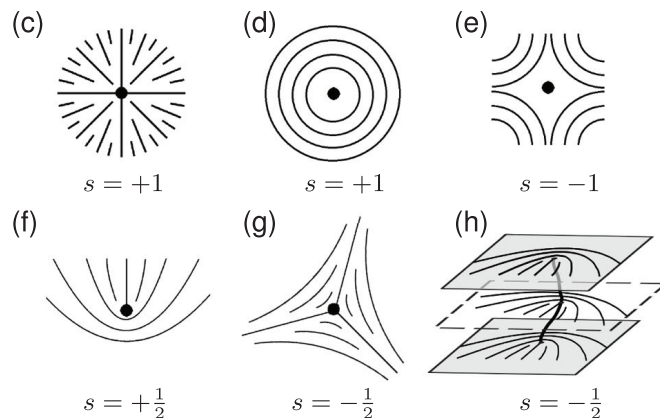
$$(S^1 \times S^1)/Z_2 \quad \#(+)-\#(-)=2$$

${}^3\text{He}$ 超流動や液晶における"ブージャム(欠陥)"と類似的

Cf. N. D. Mermin, Rev. Mod. Phys. 51, 591 (1979)

M. Urbanski, C. G. Reyes, J. Noh, A. Sharma, Y. Geng, V. S. R. Jampani, J. P. F. Lagerwall, Journal of Physics: Condensed Matter 29, 133003 (2017)

Surface Defects:



Poincaré-Hopf定理の"星"への初めての応用？

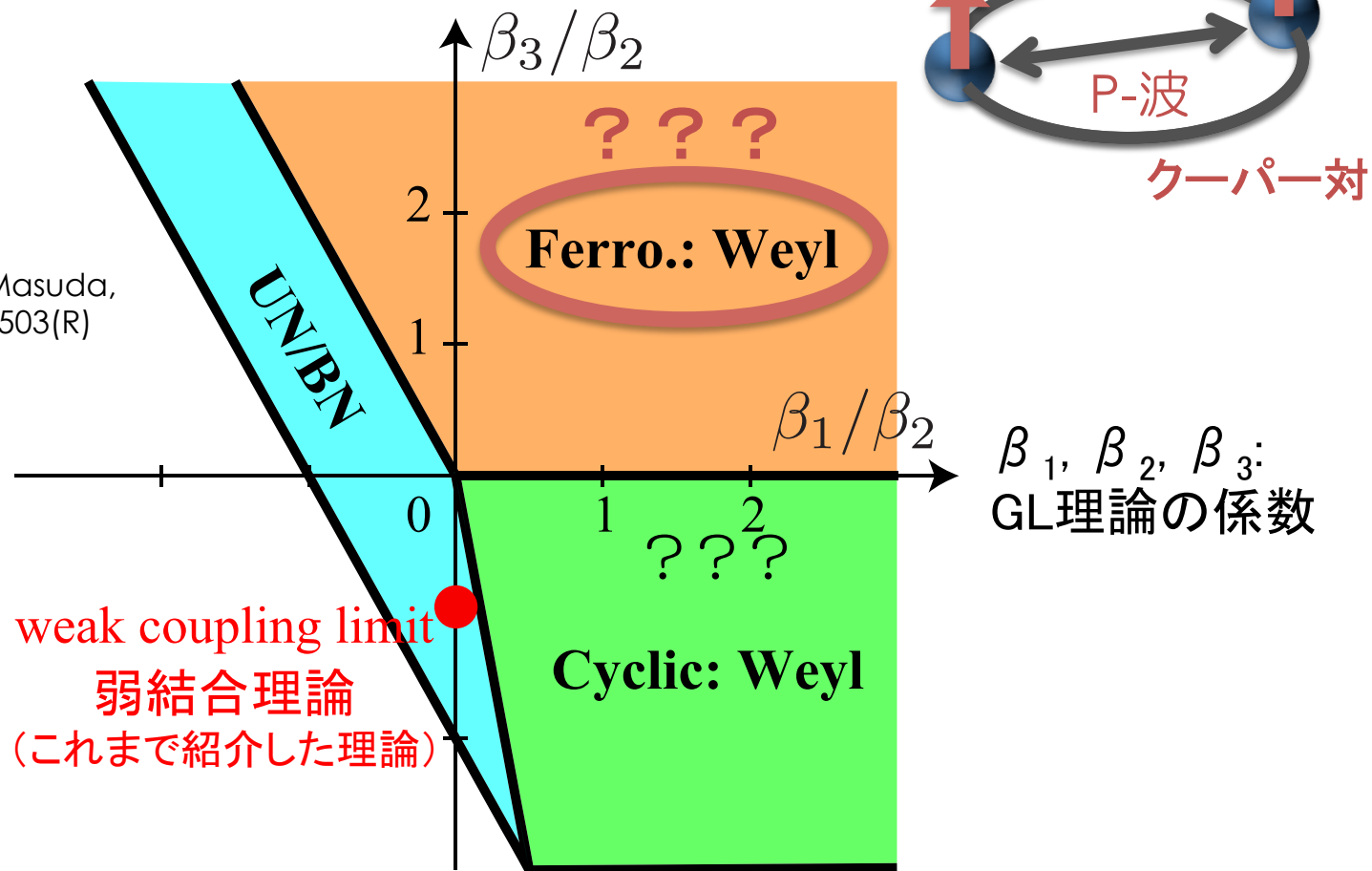


3.3 強磁性相

3.3 強磁性相

Ginzburg-Landau理論による“ 3P_2 超流動相図”の再訪

Cf. V. Z. Vulovic, J. A. Sauls, PRD29, 2705 (1984)



Taken from . Mizushima, K. Masuda,
M. Nitta, Phys. Rev. B95, 140503(R)
(2017)

これまでUN/BN相を議論した。
強磁性(ferro)相は存在するか？

3.3 強磁性相

何がスピン偏極を引き起こすのだろうか？

① 強結合効果

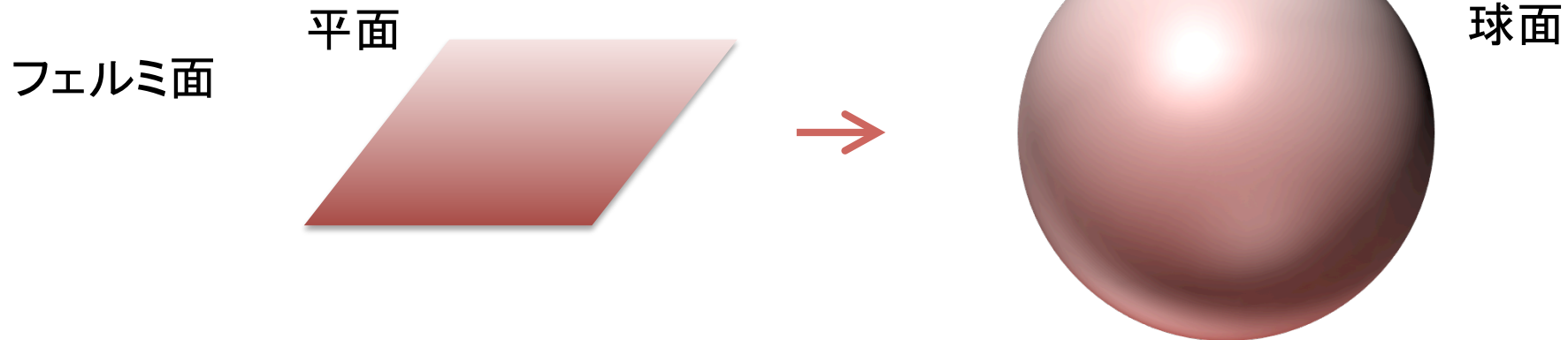
J. A. Sauls, J. W. Serene, PRD17, 1524 (1978),
V. Z. Vulovic, J. A. Sauls, PRD29, 2705 (1984),
D. N. Voskresensky, PRD101, 056011 (2020)

② 粒子-ホール対称性の破れ (準古典近似を超える)

T. Mizushima, D. Inotani, S. Yasui, M. Nitta, PRC104, 045803 (2021)

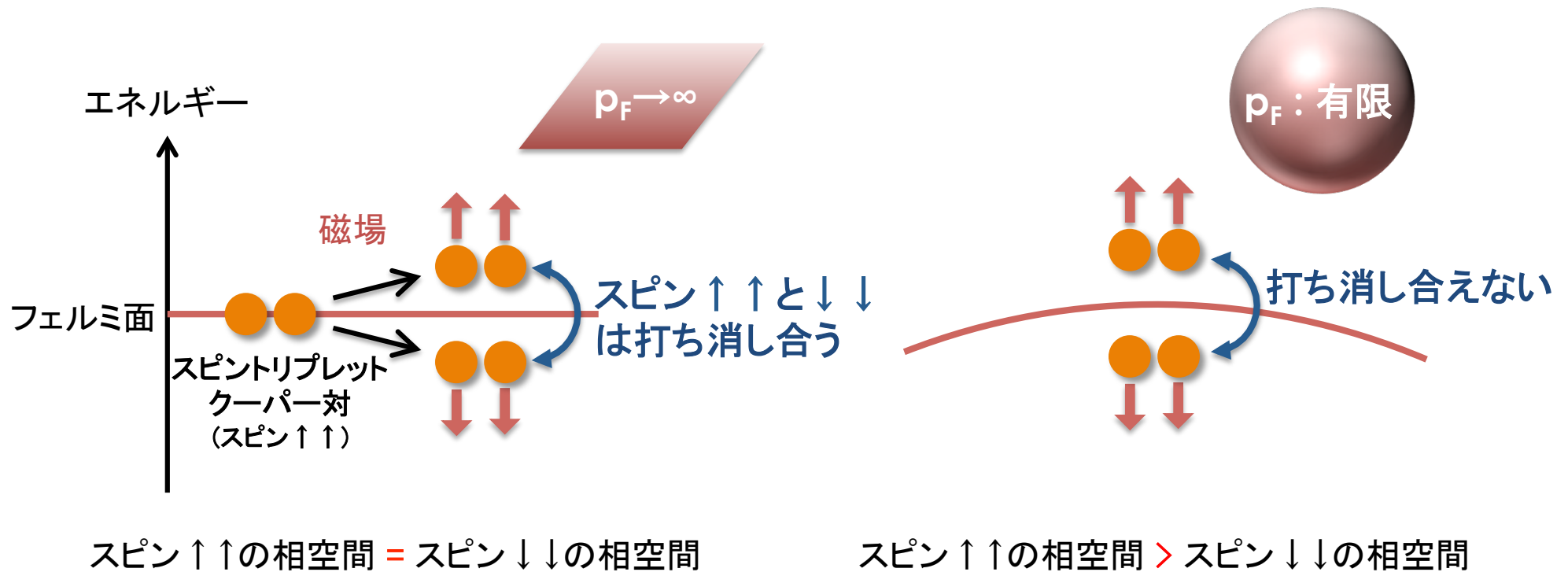
フェルミ運動量(p_F) $\rightarrow \infty$

フェルミ運動量 (p_F) : 有限値



3.3 強磁性相

なぜスピン分極が起こり得るのか？



フェルミ面の曲率がスピン偏極を誘導する？

3.3 強磁性相

3P_2 秩序変数 (スピン × 運動量)

Phase	O.P. [see Eq. (28)]	H	$R = G/H$	$\pi_1(R)$	# _{NG}	# _{qNG} [66]
Uniaxial nematic	$r = -1/2, \kappa = 0$	$D_\infty \simeq O(2)$	$U(1) \times \mathbb{R}P^2$	$\mathbb{Z} \oplus \mathbb{Z}_2$ [43, 67]	3	2
Biaxial nematic	$r \in (-1, -1/2), \kappa = 0$	D_2	$U(1) \times SO(3)/D_2$	$\mathbb{Z} \oplus \mathbb{Q}$ [43, 67]	4	1
	$r = -1, \kappa = 0$	D_4	$[U(1) \times SO(3)]/D_4$	$\mathbb{Z} \times_h D_4^*$ [43, 44, 65]	4	1
Cyclic	$r = e^{i2\pi/3}, \kappa = 0$	T	$[U(1) \times SO(3)]/T$	$\mathbb{Z} \times_h T^*$ [65, 68–70]	3	—
Magnetized	$r \in (-1, -1/2), \kappa \in (0, 1)$	0	$SO(3) \times U(1)$	$\mathbb{Z}_2 \oplus \mathbb{Z}$	4	—
biaxial nematic	$r = -1, \kappa \in (0, 1)$	C_4	$[U(1) \times SO(3)]/\mathbb{Z}_4$	$\mathbb{Z} \times_h C_4^*$	4	—
Ferromagnetic	$r = -1, \kappa = 1$	$U(1)_{J_z+2\Phi}$	$SO(3)_{J_z-2\Phi}/\mathbb{Z}_2$	\mathbb{Z}_4 [69, 71]	3	—
	Eq. (26)	$U(1)_{J_z+\Phi}$	$SO(3)_{J_z-\Phi}/\mathbb{Z}_2$	\mathbb{Z}_4 [69, 71]	3	—

Magnetized biaxial nematic (MBN) $\xrightarrow{\kappa \rightarrow 1}$ Ferromagnetic (FM)

$$\mathcal{A}_{\mu i} = \Delta \begin{pmatrix} 1 & i\kappa & 0 \\ i\kappa & r & 0 \\ 0 & 0 & -1 - r \end{pmatrix}_{\mu i}$$

$\kappa \in (0, 1)$ 新しいパラメーター
(非対角成分)

$$\mathcal{A}_{\mu i}^{\text{FM}} = \Delta \begin{pmatrix} 1 & \pm i & 0 \\ \pm i & -1 & 0 \\ 0 & 0 & 0 \end{pmatrix}_{\mu i}$$

$\kappa = 1$

$${}^3P_2 \text{ クーパー対のスピン の 正味の量}$$

$$\langle S_{\text{pair}}^z \rangle = 2\kappa(1 - r)\Delta^2/3$$

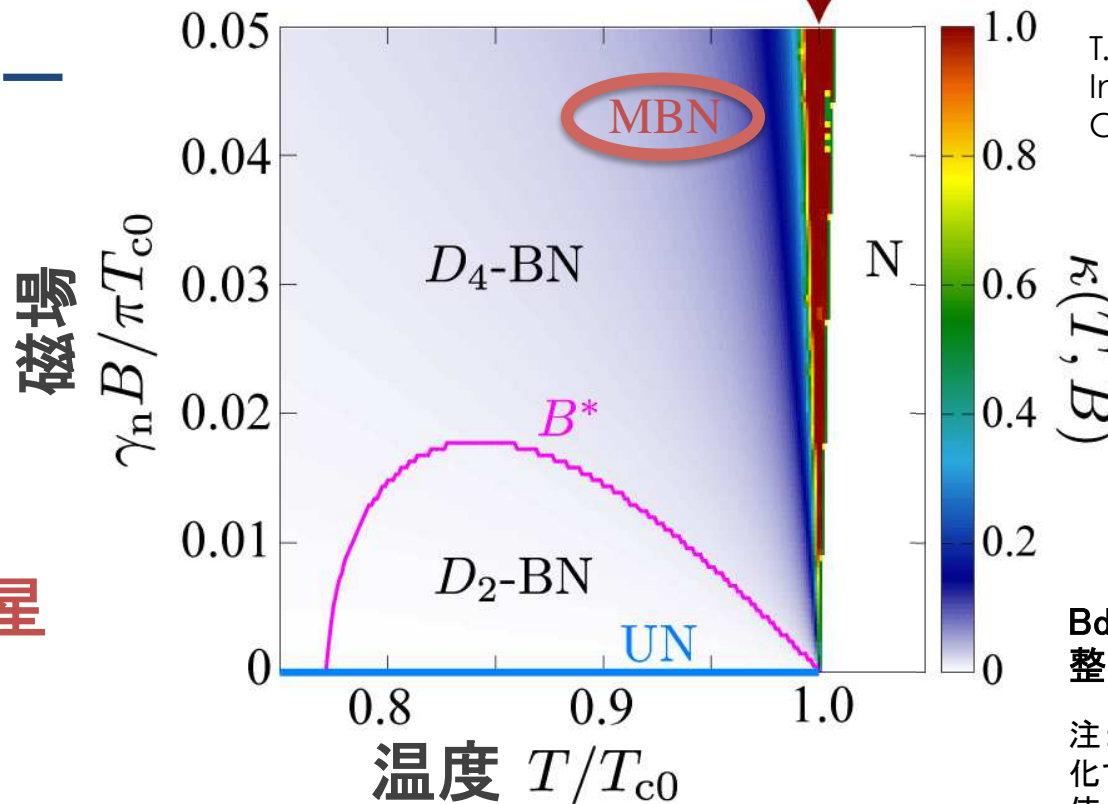
$\kappa \neq 0 \rightarrow$ スピン偏極

3.3 強磁性相

準古典近似を超えたGinzburg-Landau理論

$$f(\tau) = f_8^{(0)}(\tau) + f_2^{(\leq 4)}(\tau) + f_4^{(\leq 2)}(\tau) \quad \tau_{\mu i} = \tau_0 \begin{pmatrix} r & i\kappa & 0 \\ i\kappa & 1 & 0 \\ 0 & 0 & -1-r \end{pmatrix}_{\mu i}$$

マグネター
↑
磁場
↓
中性子星



T. Mizushima, S. Yasui, D. Inotani, M. Nitta, Phys. Rev. C104, 045803 (2021)

BdG方程式の結果と
整合的である。

注:ここでの“強磁性”は自発磁化ではない。(³P₂超流動の文脈で使われている用語。)

Magnetized biaxial-nematic (MBN)/Ferromagnetic (FM)

マグネターで観測可能？

4. まとめ

- ① 中性子星内部における中性子 3P_2 超流動は多様な相 (UN, D_2 -BN, D_4 -BN, MBN, FMなど)をもつ
- ② 中性子 3P_2 超流動はさまざまな特異的な構造をつくる
 - ドメインウォール (準安定)
 - 表面トポロジカル欠陥
 - 量子渦
 - 1S_0 - 3P_2 超流動共存 etc.
- ③ 中性子 3P_2 超流動は「星の物性」としても面白い。
- ④ 中性子星の今後の観測に期待！

Appendix

Phase diagram ?

- Thermodynamic properties
- Transport coefficients (cooling process)
- Other New phases
- Hyperon matter
- Non-uniform phase (FFLO)

D. Inotani, S. Yasui, T. Mizushima, M. Nitta,
Phys. Rev. A103, 053308 (2021)

Topological objects ?

- Fractionally quantized vortices
- Solitons in vortices
- Gapless fermions
- Boojum

K. Masuda, M. Nitta,
PRC93, 035804 (2016),
PTEP202 (2020) 013

C. Chatterjee, M. Haberichter, M. Nitta,
PRC96, 055807 (2017)

T. Mizushima, K. Masuda, M. Nitta,
PRB95, 140503 (2017)

M. Cipriani, W. Vinci and M. Nitta, Phys. Rev. D 86, 121704 (2012)

G. Alford, G. Baym, F. Fukushima, T. Hatsuda, M. Tachibana, Phys. Rev. D99, 036004 (2019)

C. Chatterjee, M. Nitta, S. Yasui, Phys. Rev. D99, 034001 (2019)

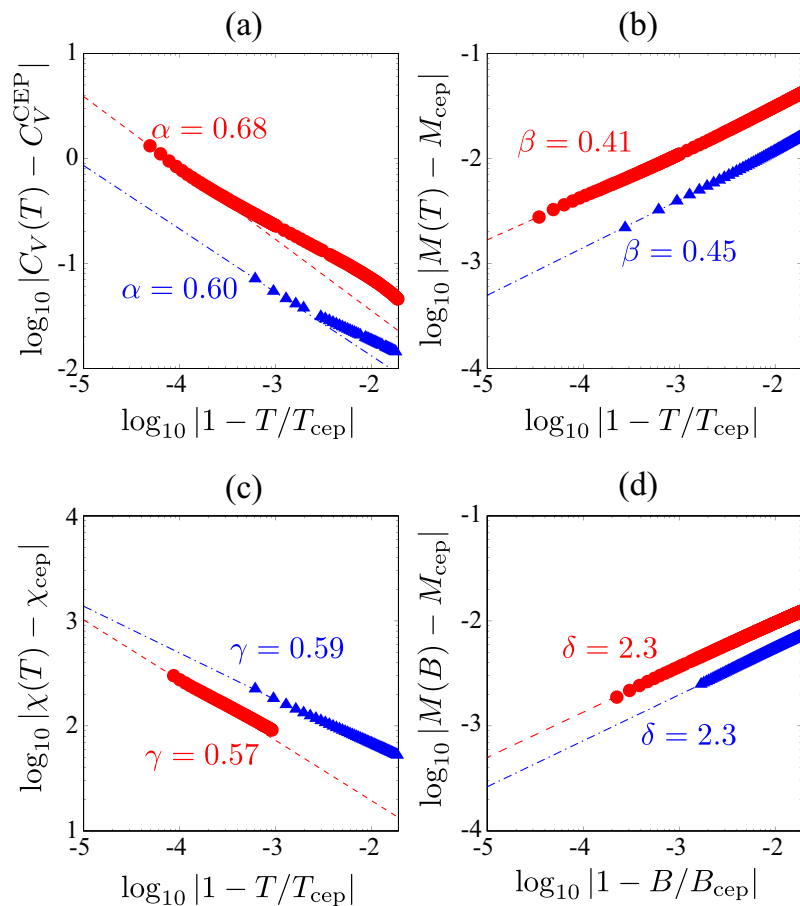
A. Cherman, S. Sen, L. G. Yaffe, Phys. Rev. D100, 034015 (2019)

G. Maromorini, S. Yasui, M. Nitta, arXiv:2010.09032 [astro-ph.HE]

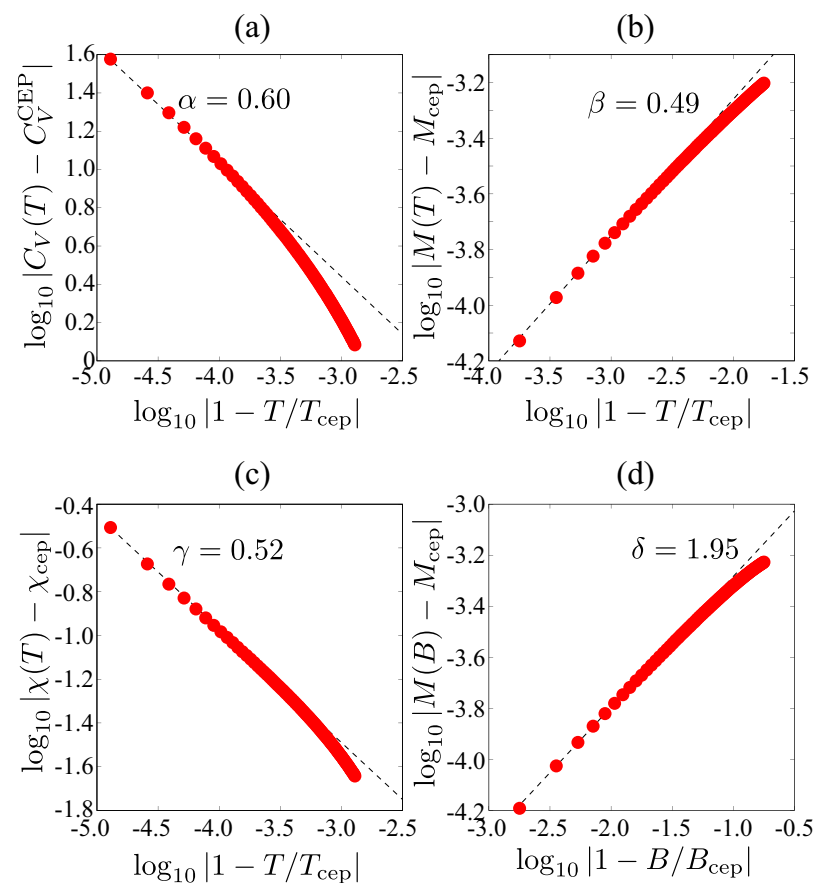
...

臨界指数の評価

BdG



GL



red, blue...Landau parameter $G_0^{(n)} = -0.7, -0.4$

ドメインウォール

Surface energy density (summary picture in next page...)



bulk UN phase	$W^2(\text{UN})$			$W^1(\text{UN})$			$W^3(\text{UN})$		
angle	$-1/6 \leq (\phi \bmod \pi)/\pi < 1/6$			$1/6 \leq (\phi \bmod \pi)/\pi < 1/2$			$1/2 \leq (\phi \bmod \pi)/\pi < 5/6$		
direction	W_1^2	W_2^2	W_3^2	W_1^1	W_2^1	W_3^1	W_1^3	W_2^3	W_3^3
σ [keV/fm ²]	0.0154	0.0199	0.0154	0.0199	0.0154	0.0154	0.0154	0.0154	0.0199

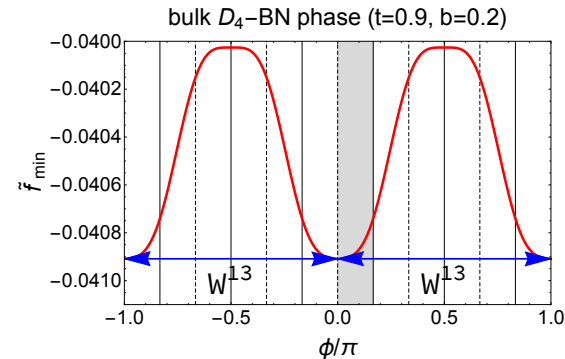
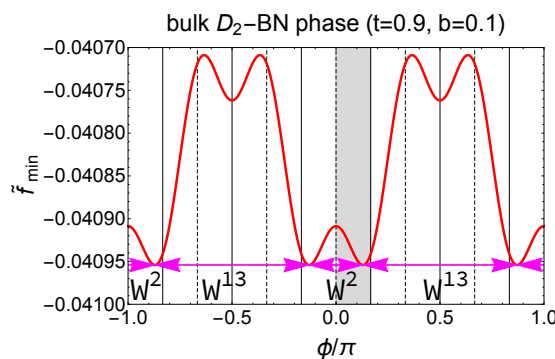
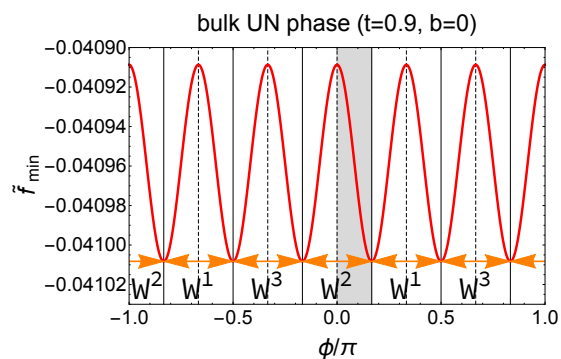
bulk D ₂ -BN phase	$W^2(\text{D}_2\text{BN})$			$W^{13}(\text{D}_2\text{BN})$		
angle	$-0.129 \leq (\phi \bmod \pi)/\pi < 0.129$			$0.129 \leq (\phi \bmod \pi)/\pi < 0.870$		
direction	W_1^2	W_2^2	W_3^2	W_1^{13}	W_2^{13}	W_3^{13}
σ [keV/fm ²]	0.0082	0.0107	0.0082	0.0722	0.0616	0.0722

bulk D ₄ -BN phase	—			$W^{13}(\text{D}_4\text{BN})$		
angle	—			$0 \leq (\phi \bmod \pi)/\pi < 1$		
direction	—			W_1^{13}	W_2^{13}	W_3^{13}
σ [keV/fm ²]	—			0.1533	0.1353	0.1533

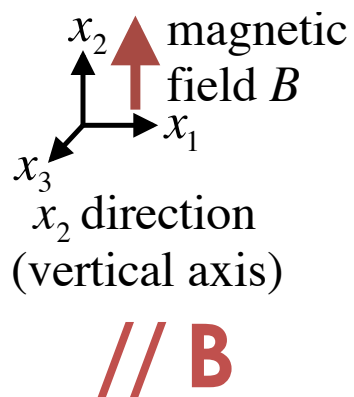
Neutron star



Magnetar



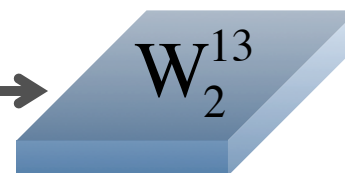
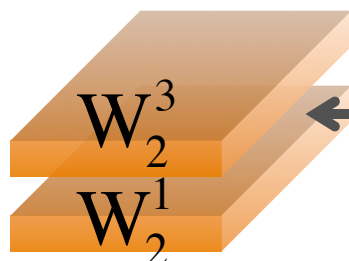
ドメインウォール



bulk UN phase
zero magnetic field

bulk D_2 BN phase
weak magnetic field

bulk D_4 BN phase
strong magnetic field



Unstable

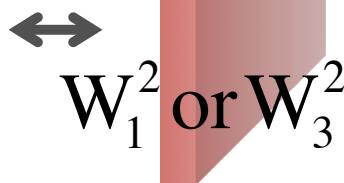
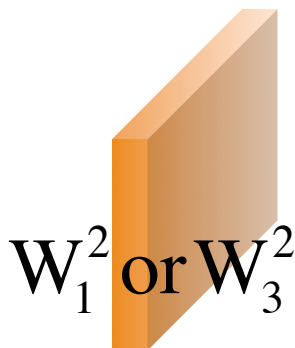
0.0308 keV/fm²

0.0616 keV/fm²

0.1353 keV/fm²

x_1 or x_3 direction
 (horizontal axis)

⊥ B



disappearance

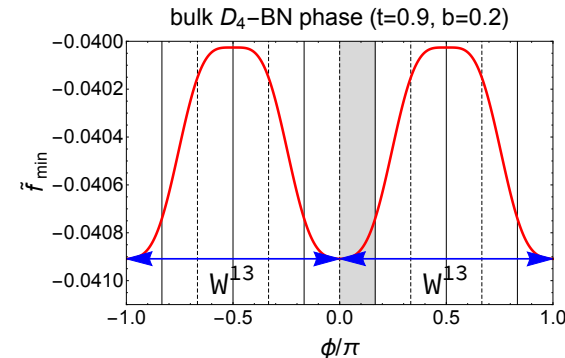
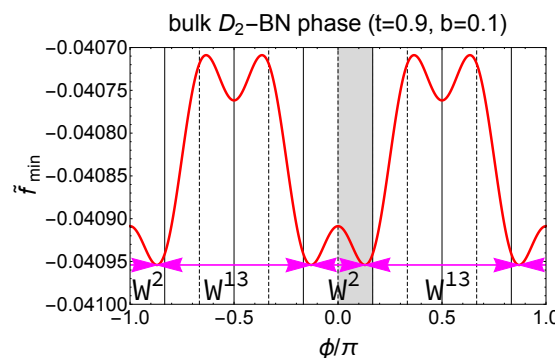
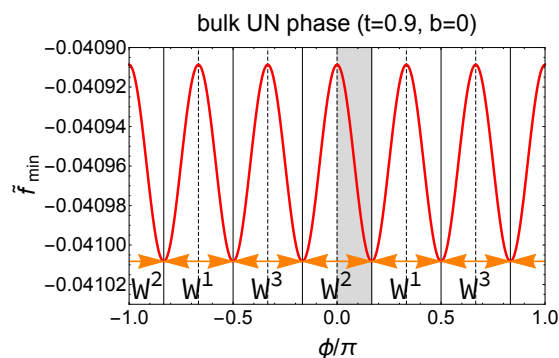
Stable

0.0154 keV/fm²

0.0082 keV/fm²

Neutron star

Magnetar



ドメインウォール

